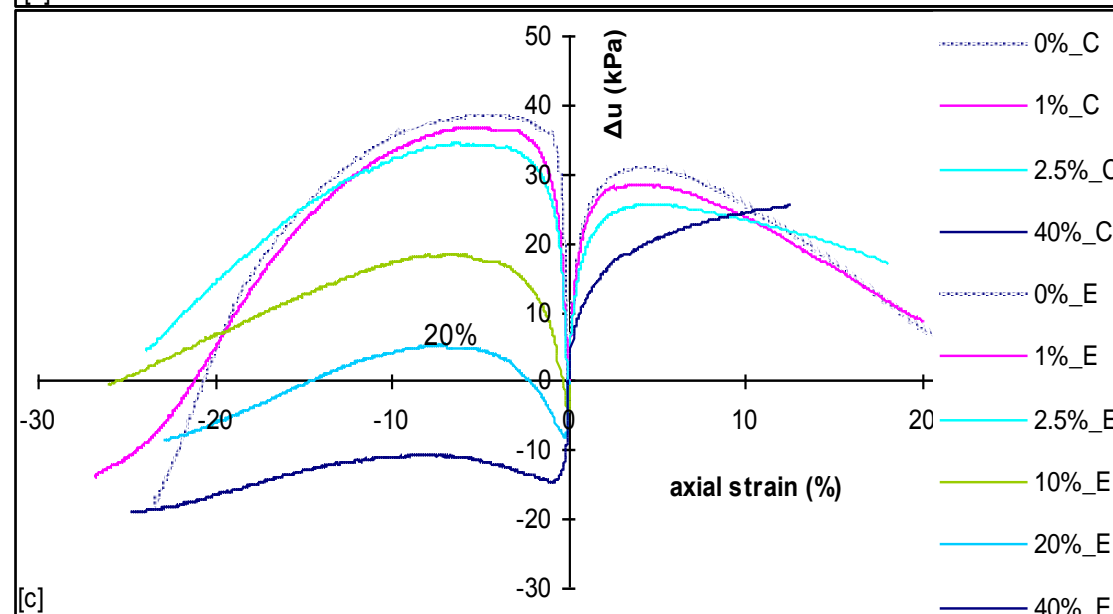
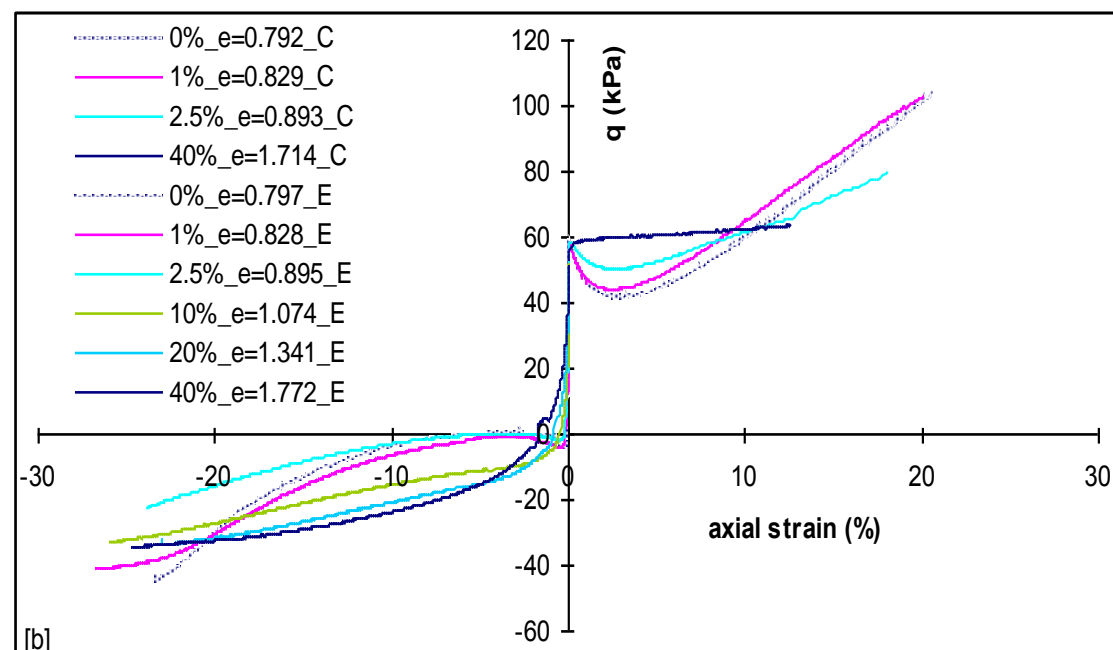
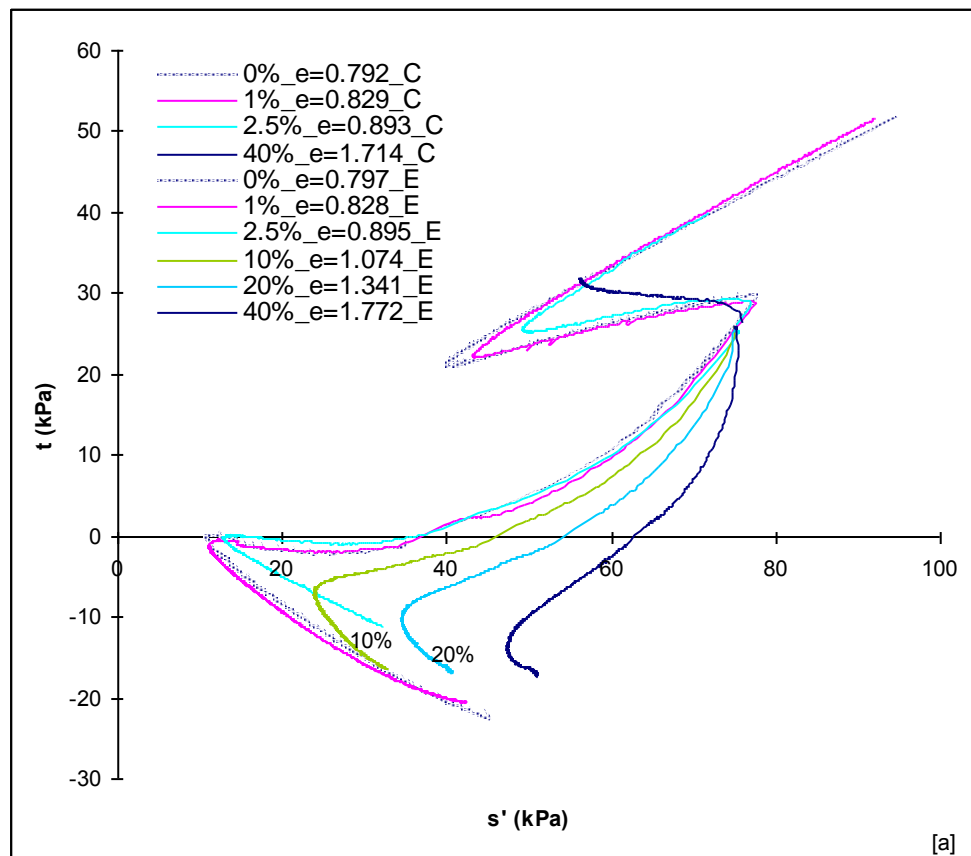
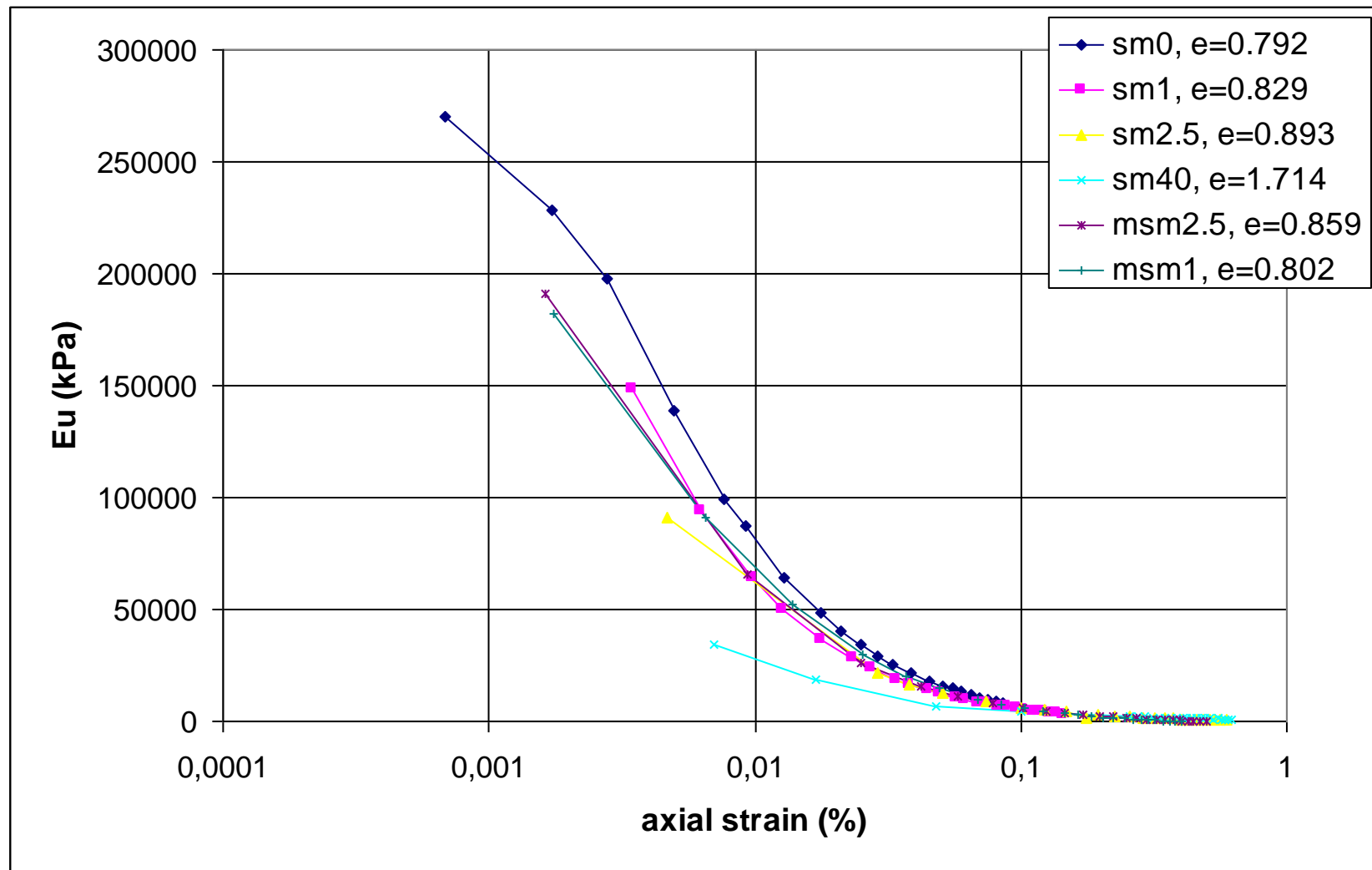


Σχήμα 1: Κοκκομετρική διαβάθμιση άμμων και υλικών πρόσμιξης

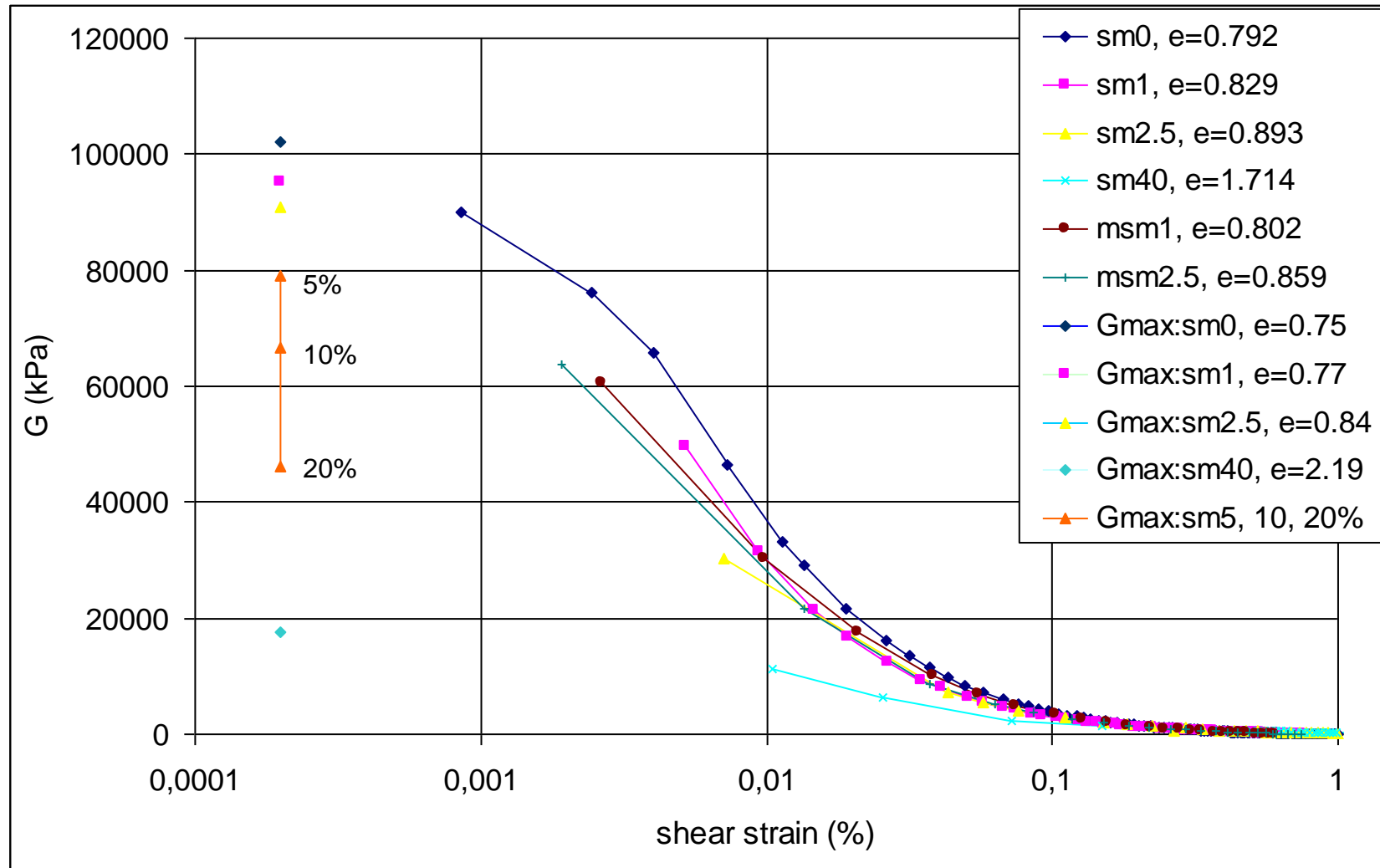


Σχήμα 2: Χαρακτηριστικά αντοχής μιγμάτων της λεπτόκοκκης άμμου JM με διαφορετικά ποσοστά μαρμαρυγία (MF60):

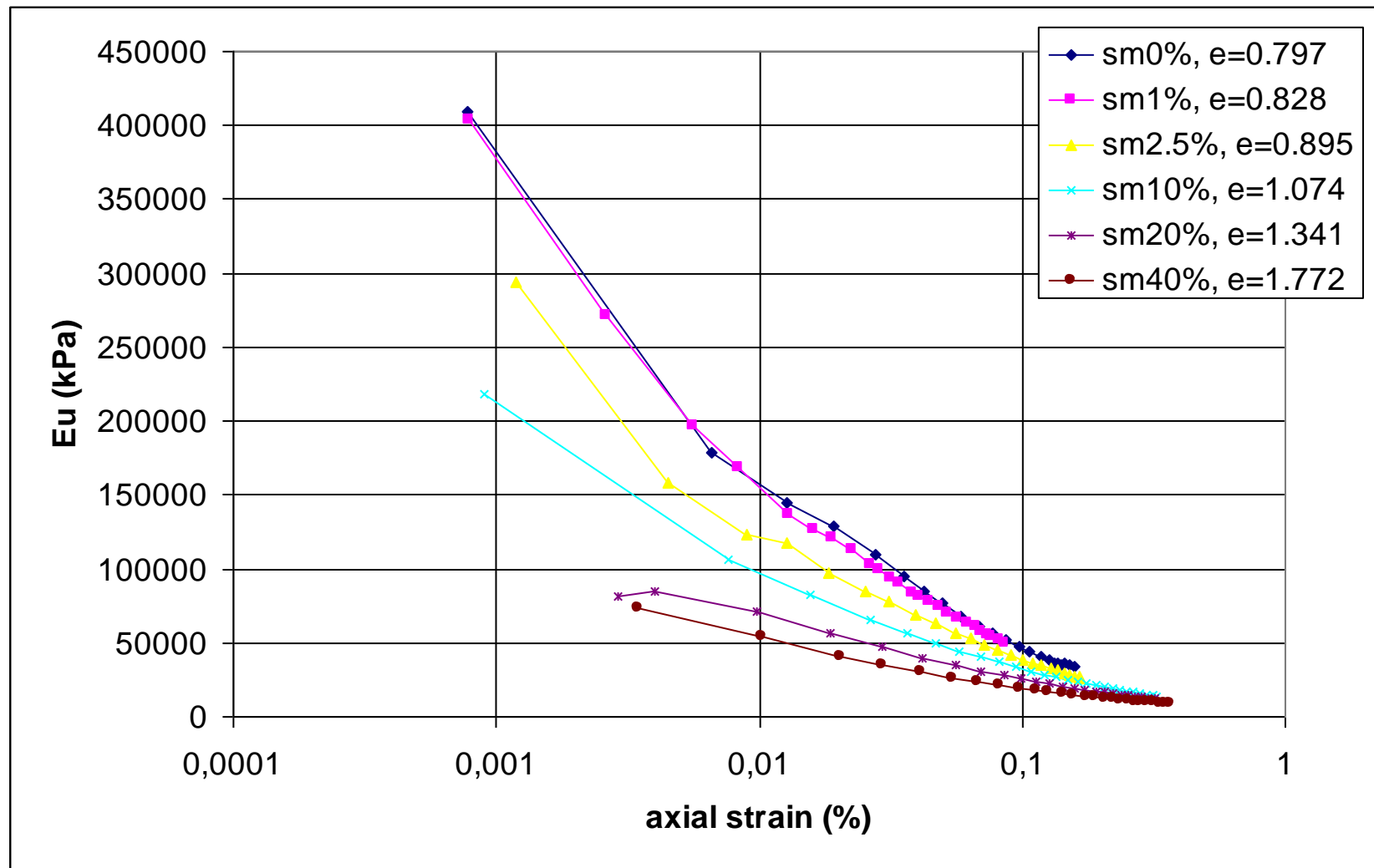
- (a) διαδρομές τάσεων
- (b) σχέσεις τάσεων-παραμορφώσεων
- (c) σχέσεις υπερπίεσης του νερού των πόρων-παραμορφώσεων



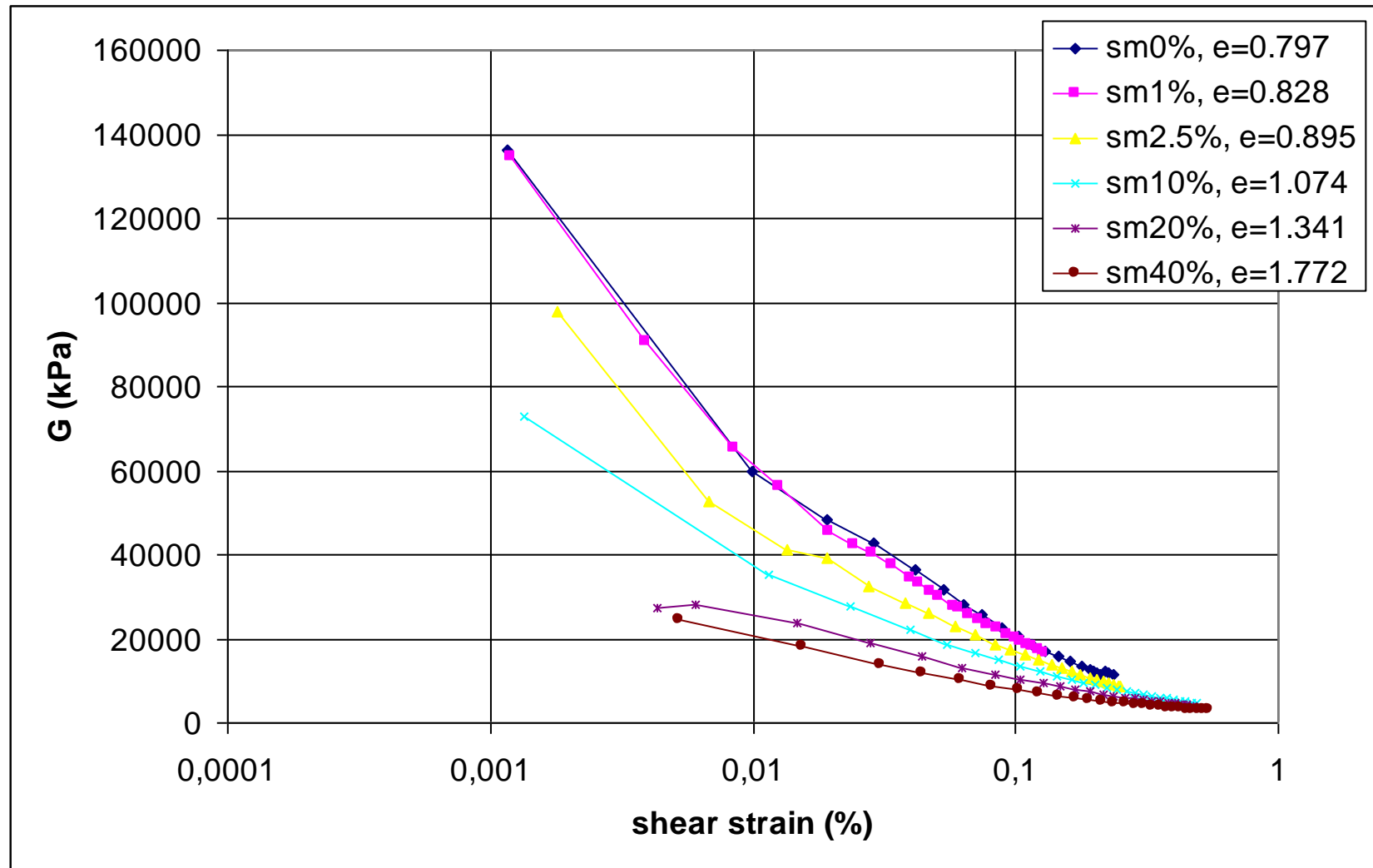
Σχήμα 3: Καμπύλες $E_u - \epsilon_a$, τριαξονική θλίψη υπό συνθήκες εμποδιζόμενης στράγγισης. Επίδραση ποσοστού μαρμαρυγία (sm%) στη συμπεριφορά λεπτόκοκκης άμμου (JM).



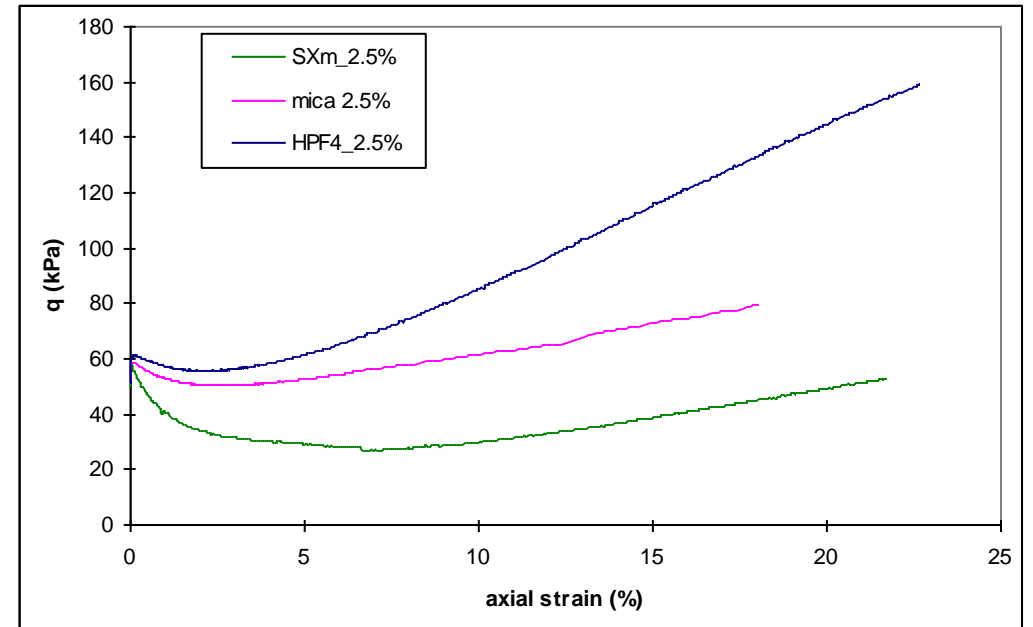
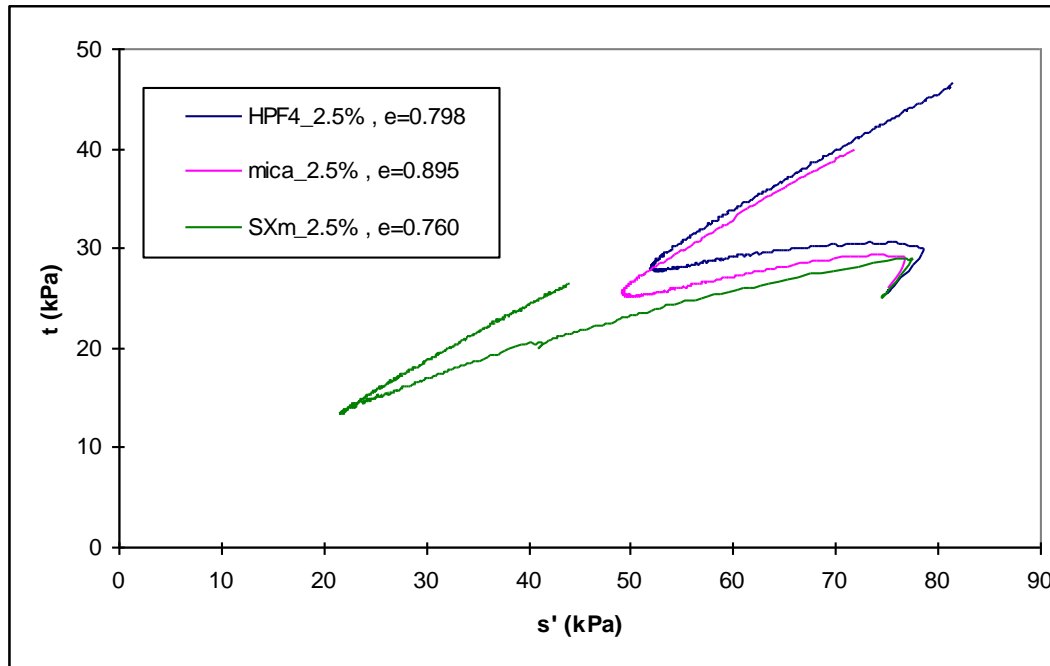
Σχήμα 4: Καμπύλες $G-\gamma$ για μίγματα λεπτόκοκκης άμμου και μαρμαρυγία σε ποσοστό (0-40)%. Τιμές G_{max} για τα ίδια μίγματα από μετρήσεις με καμπτικά στοιχεία.



Σχήμα 5: Καμπύλες $E_u - \varepsilon_a$, τριαξονικός εφελκυσμός υπό συνθήκες εμποδιζόμενης στράγγισης. Επίδραση ποσοστού μαρμαρυγιά (sm%) στη συμπεριφορά λεπτόκοκκης άμμου (JM).

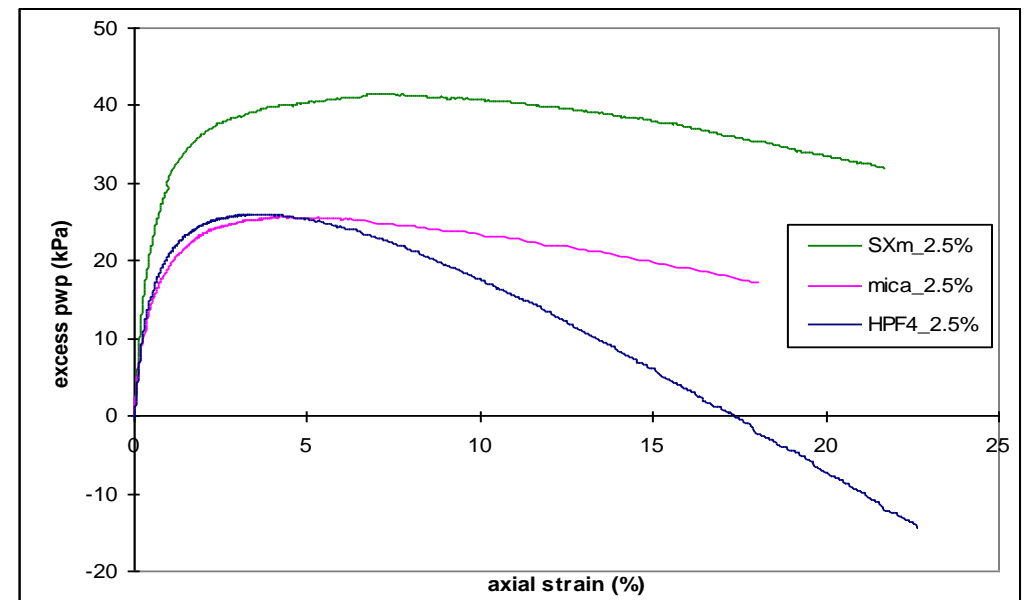


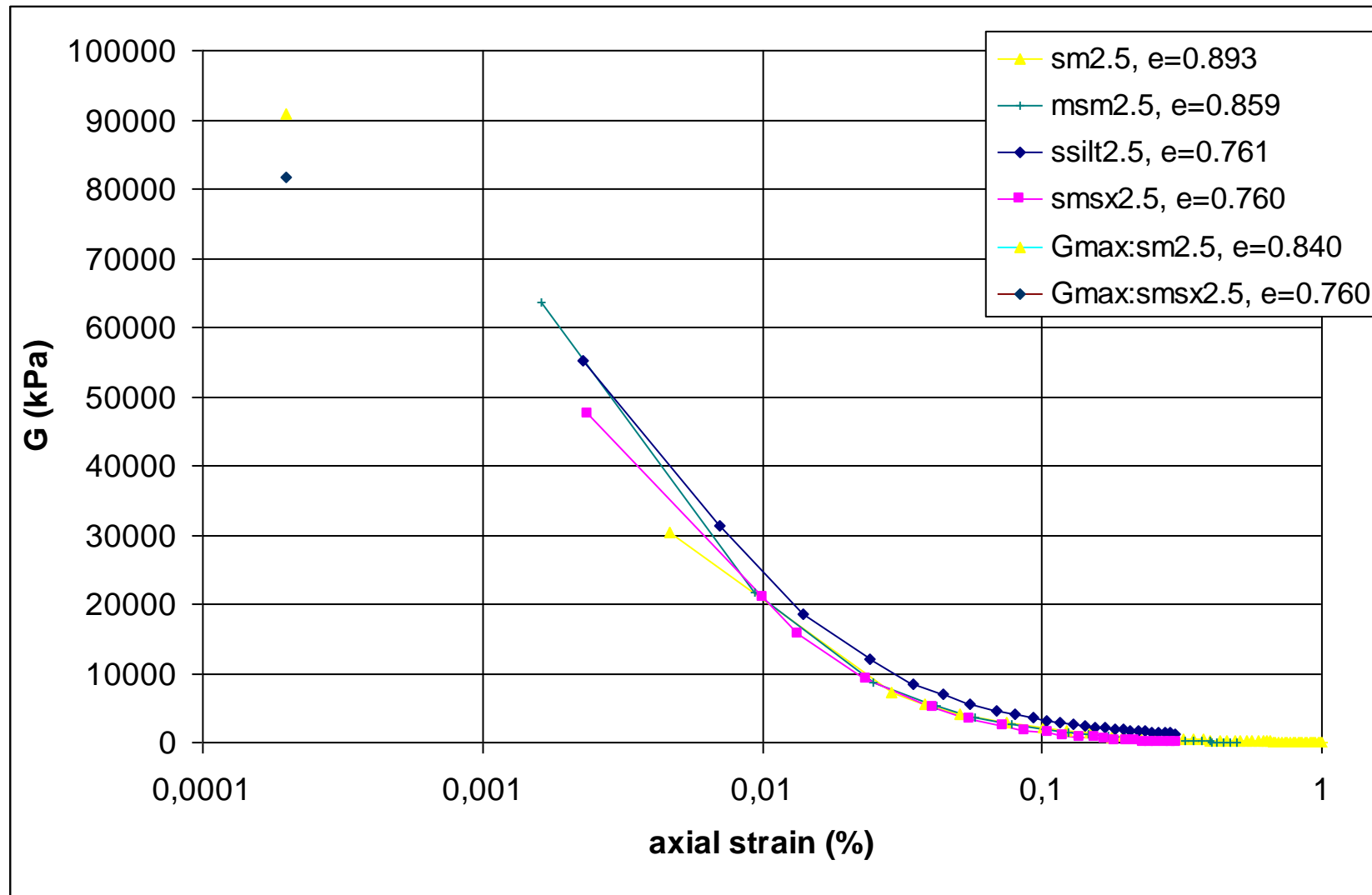
Σχήμα 6: Καμπύλες **G-γ** για μίγματα λεπτόκοκκης άμμου και μαρμαρυγία σε ποσοστό (0-40)%, τριαξονικός εφελκυσμός.



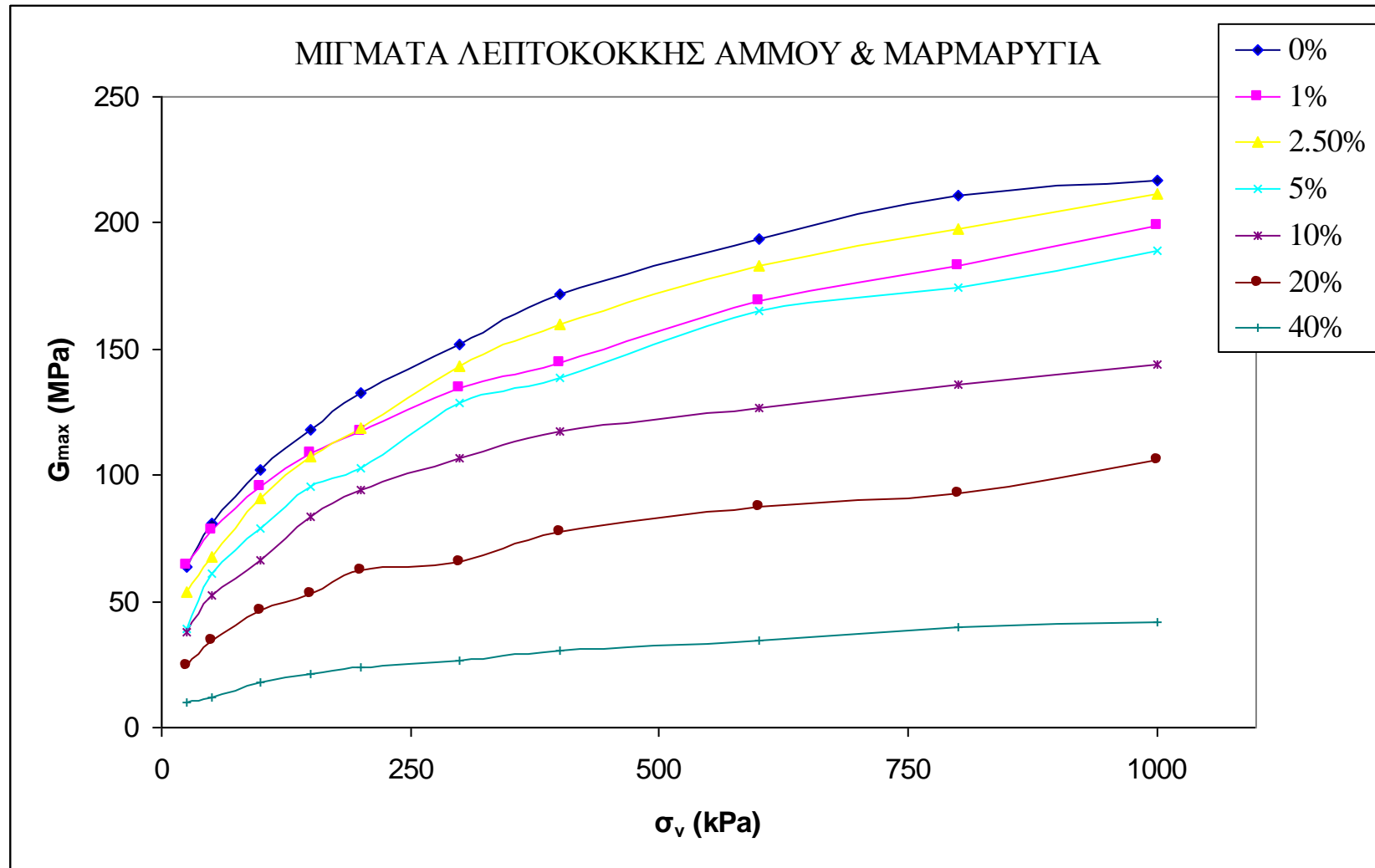
Σχήμα 7: Χαρακτηριστικά αντοχής μιγμάτων της άμμου JS με διαφορετικά λεπτόκοκκα υλικά: μαρμαρυγία (mica_MF60), μαρμαρυγία (mica_SX) και ιλύ (HPF4):

- (1) διαδρομές τάσεων
- (2) σχέσεις τάσεων-παραμορφώσεων
- (3) σχέσεις υπερπίεσης του νερού των πόρων-παραμορφώσεων

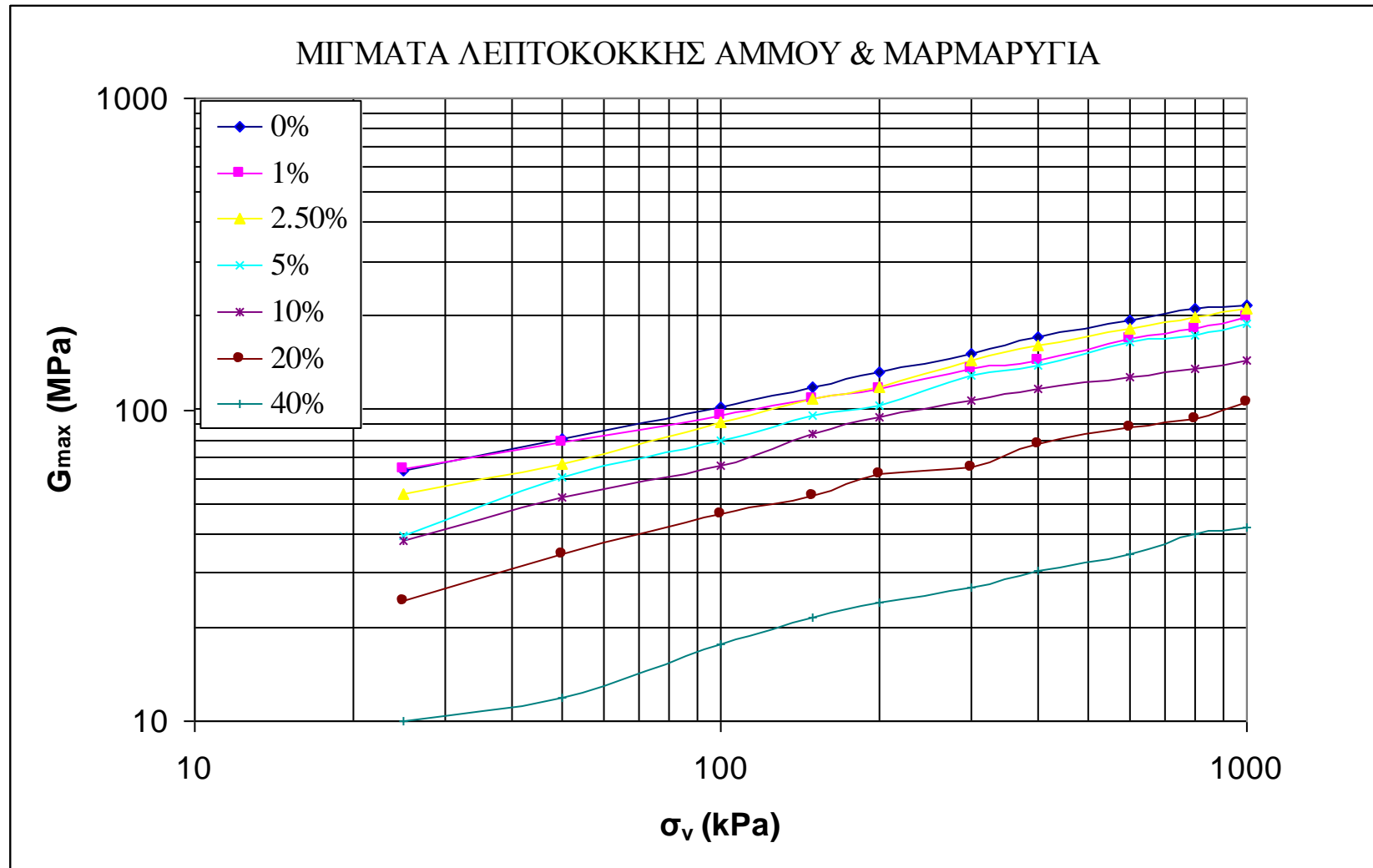




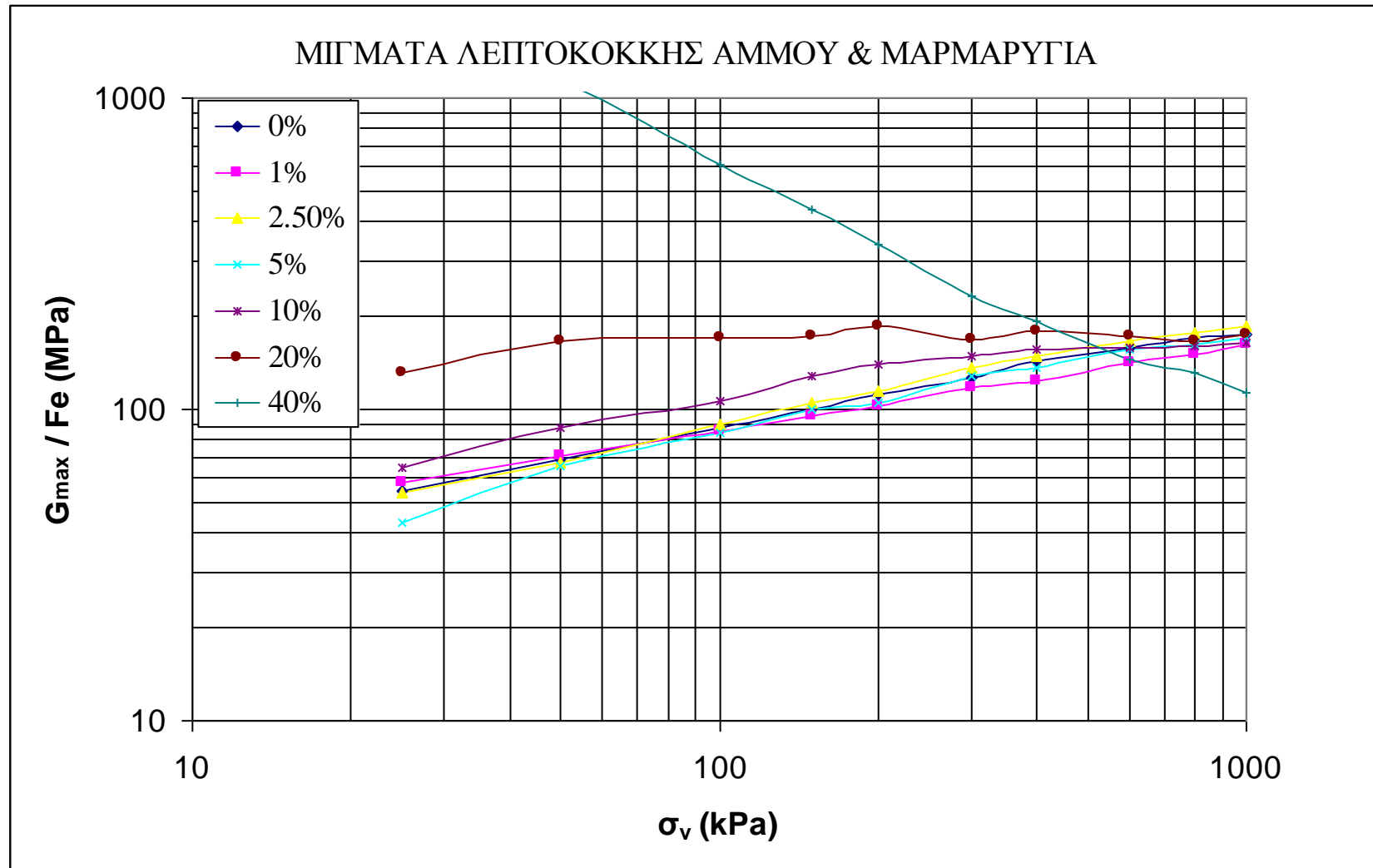
Σχήμα 8: Καμπύλες **$G-\gamma$** για μίγματα λεπτόκοκκης άμμου JM με διαφορετικά λεπτόκοκκα υλικά: μαρμαρυγία (m_MF60), μαρμαρυγία (m_SX) και ιλύ (silt_HPF4) για το ίδιο ποσοστό (2.5)%. Τιμές **G_{max}** για τα μίγματα με μαρμαρυγία από μετρήσεις με καμπτικά στοιχεία.



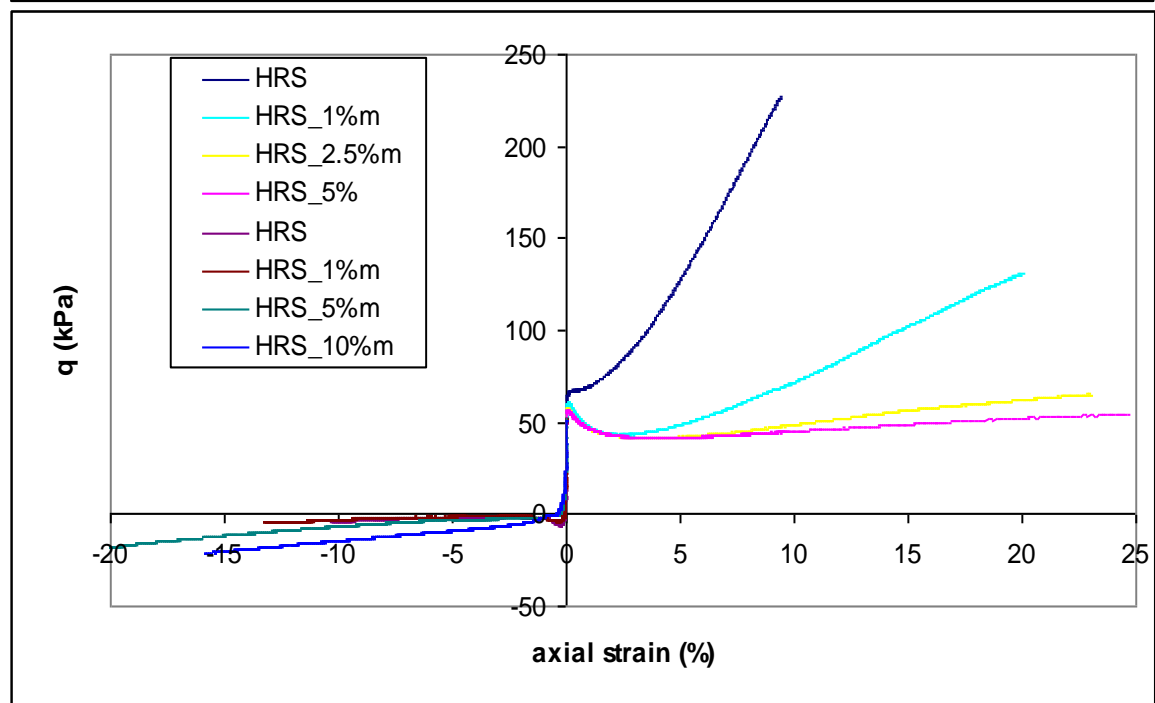
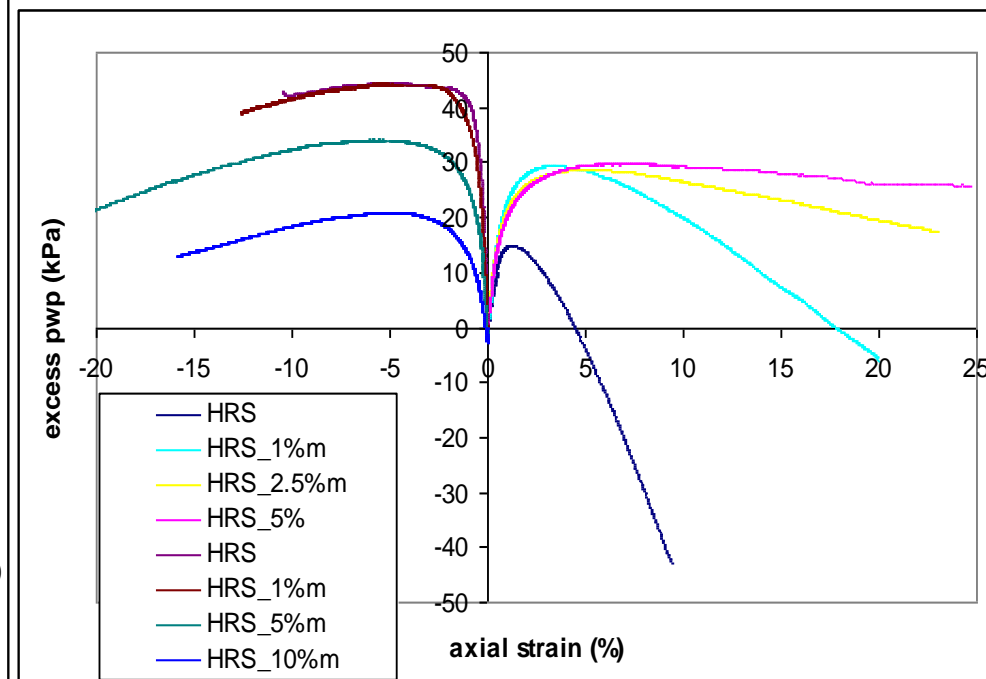
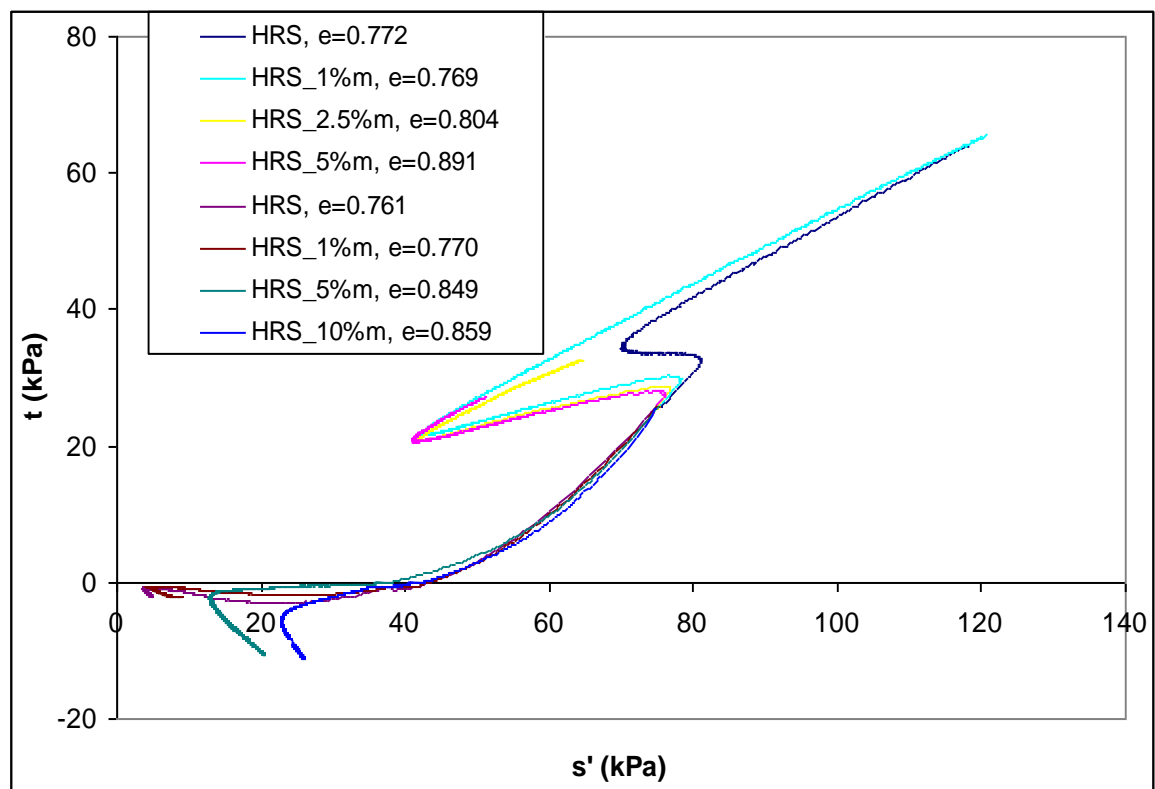
Σχήμα 9: Καμπύλες $G_{max} - \sigma_v'$, φόρτιση στο συμπίεσόμετρο. Επίδραση ποσοστού μαρμαρυγία στη συμπεριφορά λεπτόκοκκης άμμου (JM).



Σχήμα 10(α): Καμπύλες $G_{max} - \sigma_v'$ φόρτιση στο συμπίεσόμετρο. Επίδραση ποσοστού μαρμαρυγία στη συμπεριφορά λεπτόκοκκης άμμου (JM).

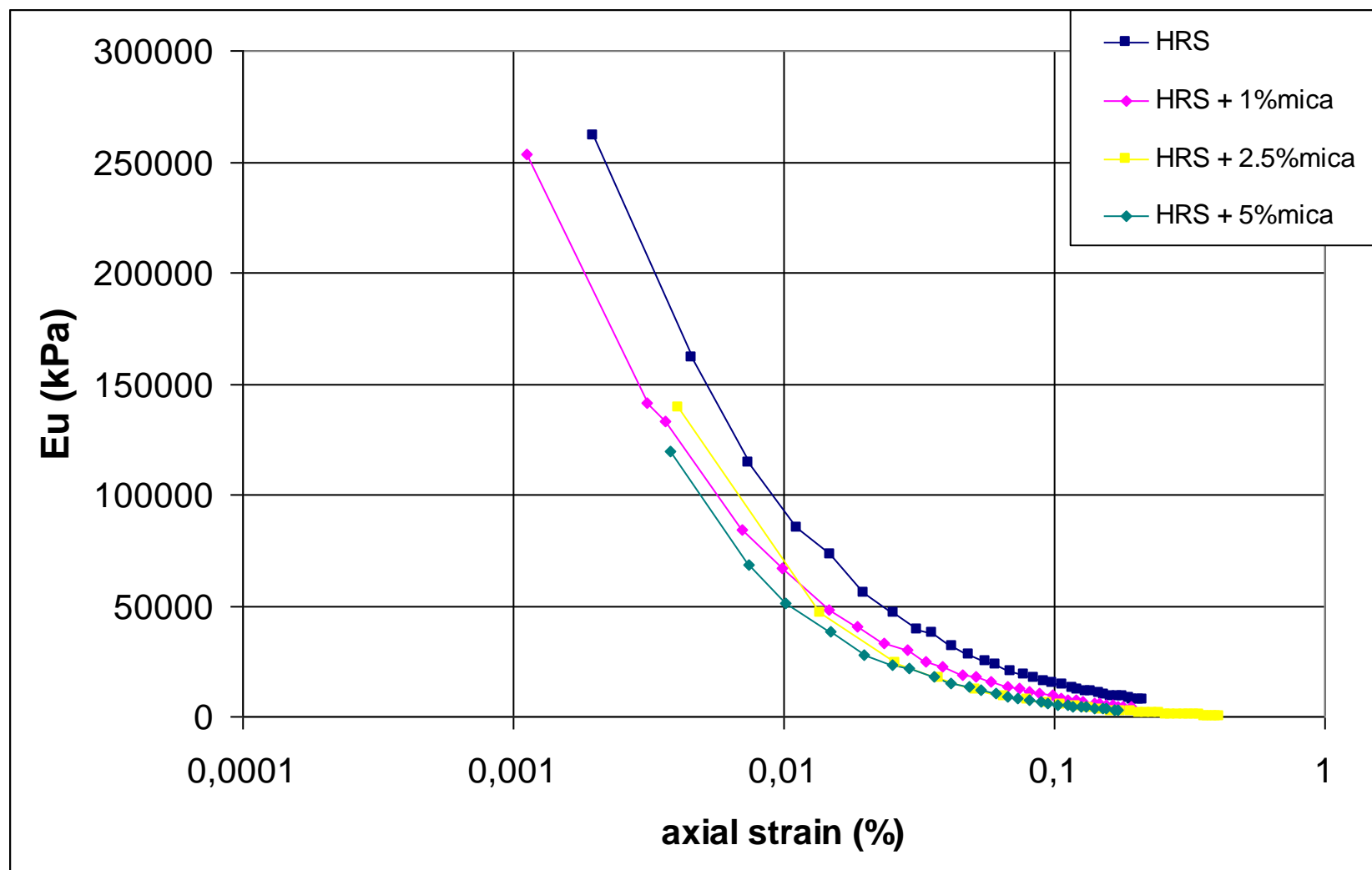


Σχήμα 10(β): Κανονικοποίηση G_{max} ως προς τον δείκτη πόρων. Καμπύλες $G_{max}/Fe - \sigma_v'$.

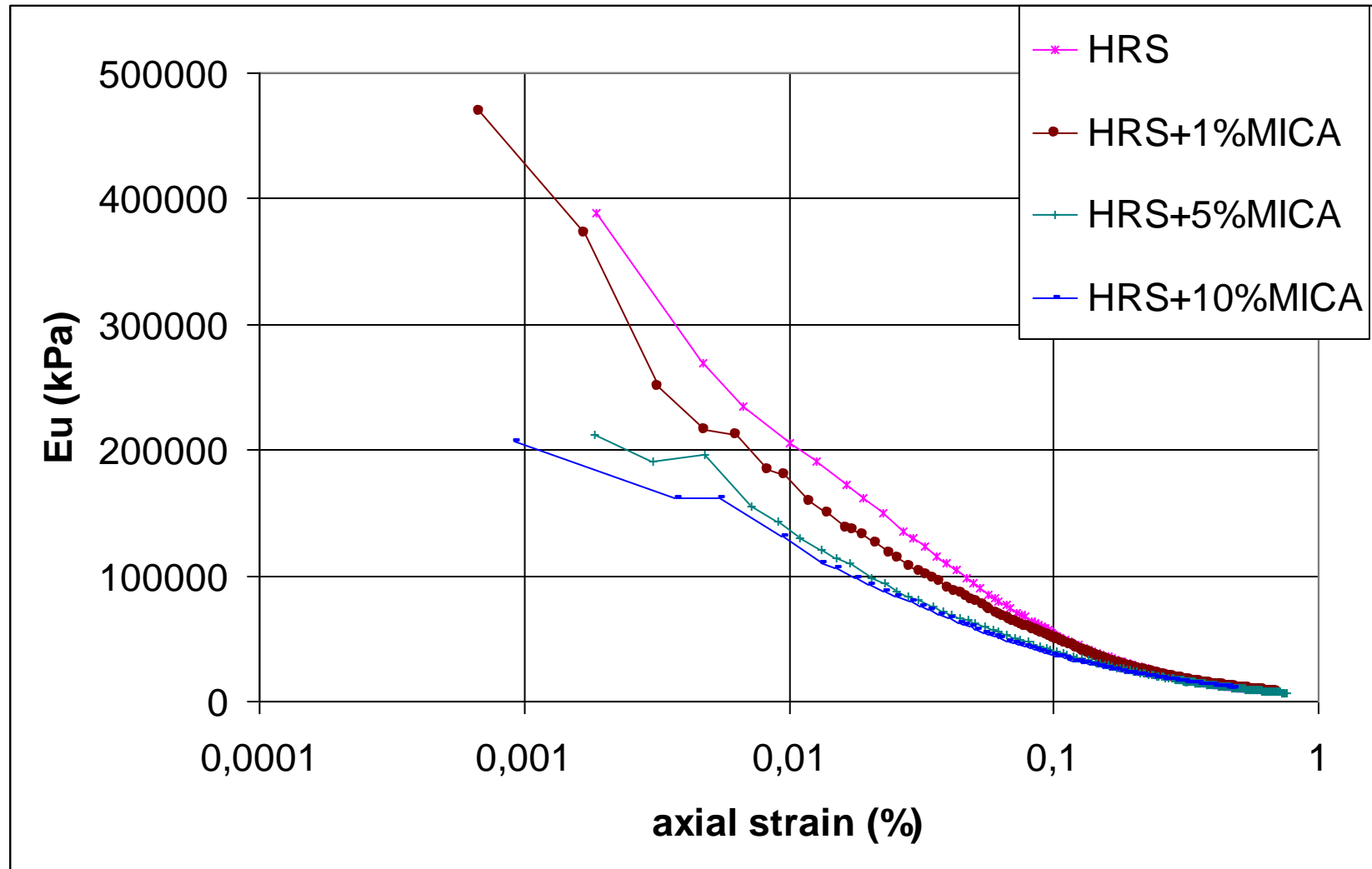


Σχήμα 11: Χαρακτηριστικά αντοχής μιγμάτων της άμμου HRS με διαφορετικά ποσοστά μαρμαρυγία (MF60):

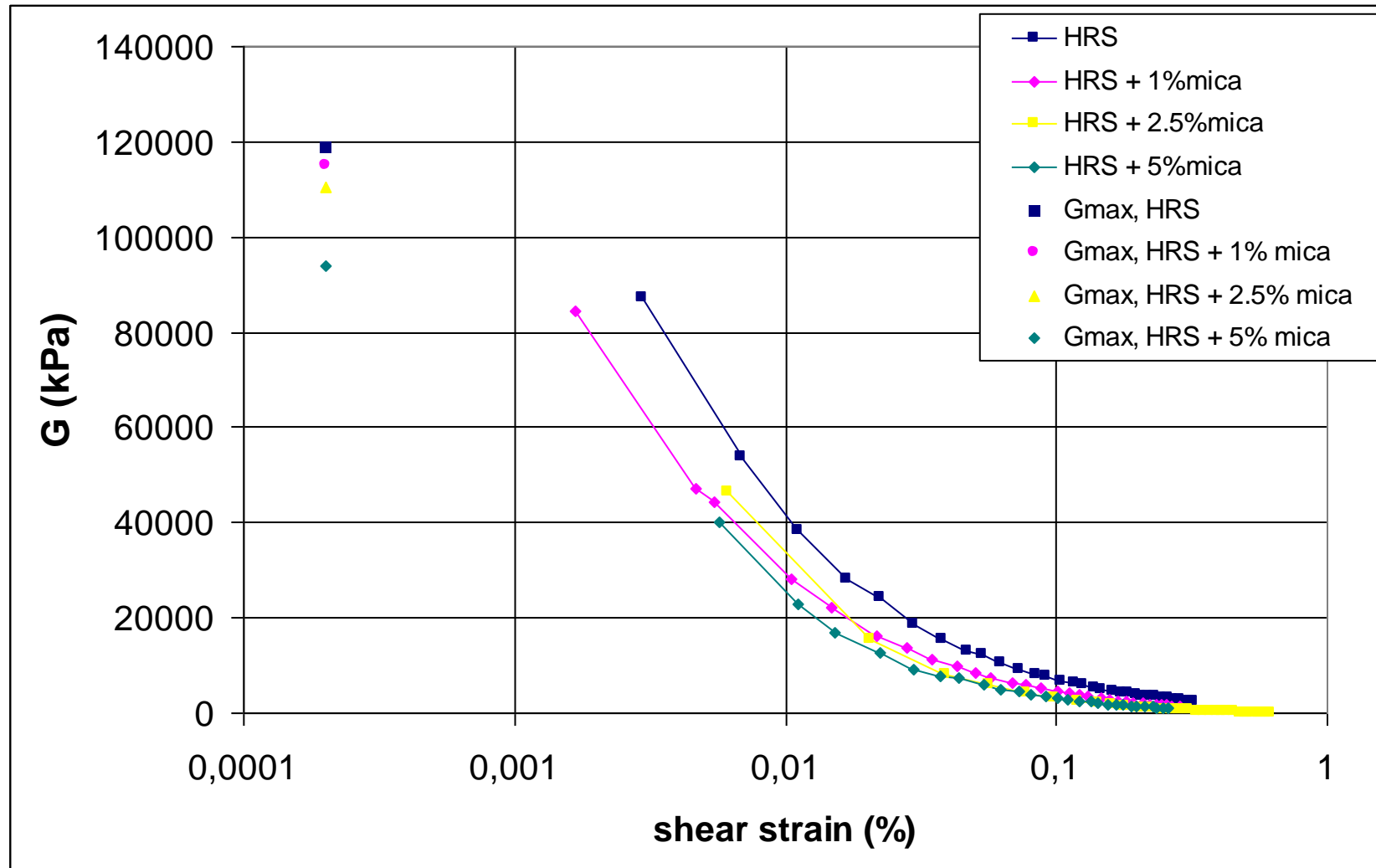
- διαδρομές τάσεων
- σχέσεις τάσεων-παραμορφώσεων
- σχέσεις υπερπίεσης του νερού των πόρων-παραμορφώσεων



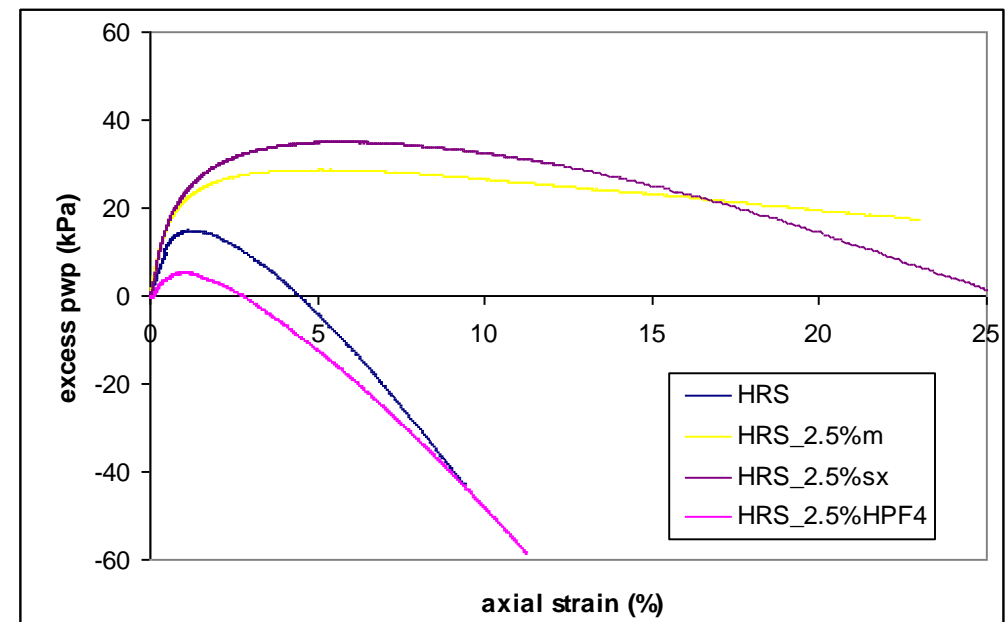
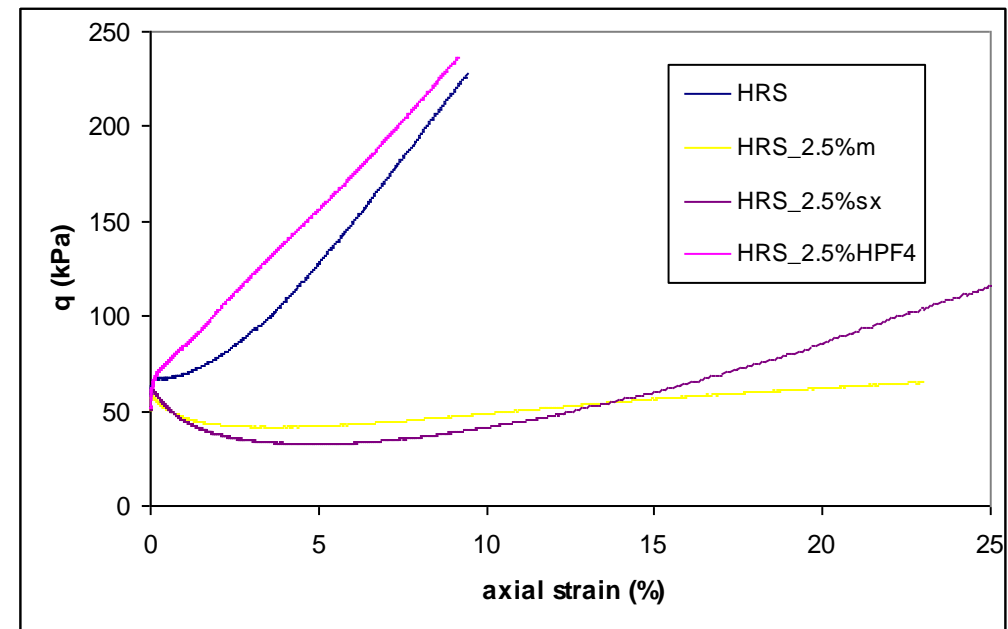
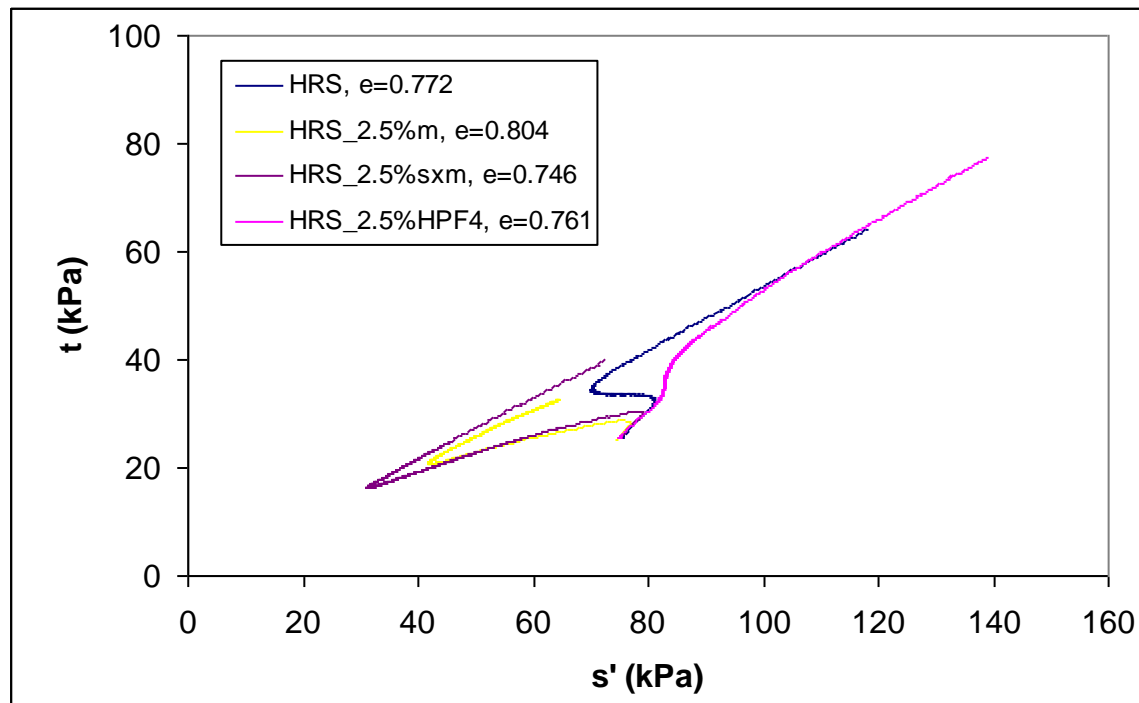
Σχήμα 12: Καμπύλες $E_u - \varepsilon_a$, τριαξονική θλίψη υπό συνθήκες εμποδιζόμενης στράγγισης. Επίδραση ποσοστού μαρμαρυγία στη συμπεριφορά της άμμου (HRS).



Σχήμα 13: Καμπύλες $E_u - \varepsilon_a$, τριαξονικός εφελκυσμός υπό συνθήκες εμποδιζόμενης στράγγισης. Επίδραση ποσοστού μαρμαρυγία στη συμπεριφορά της άμμου (HRS).

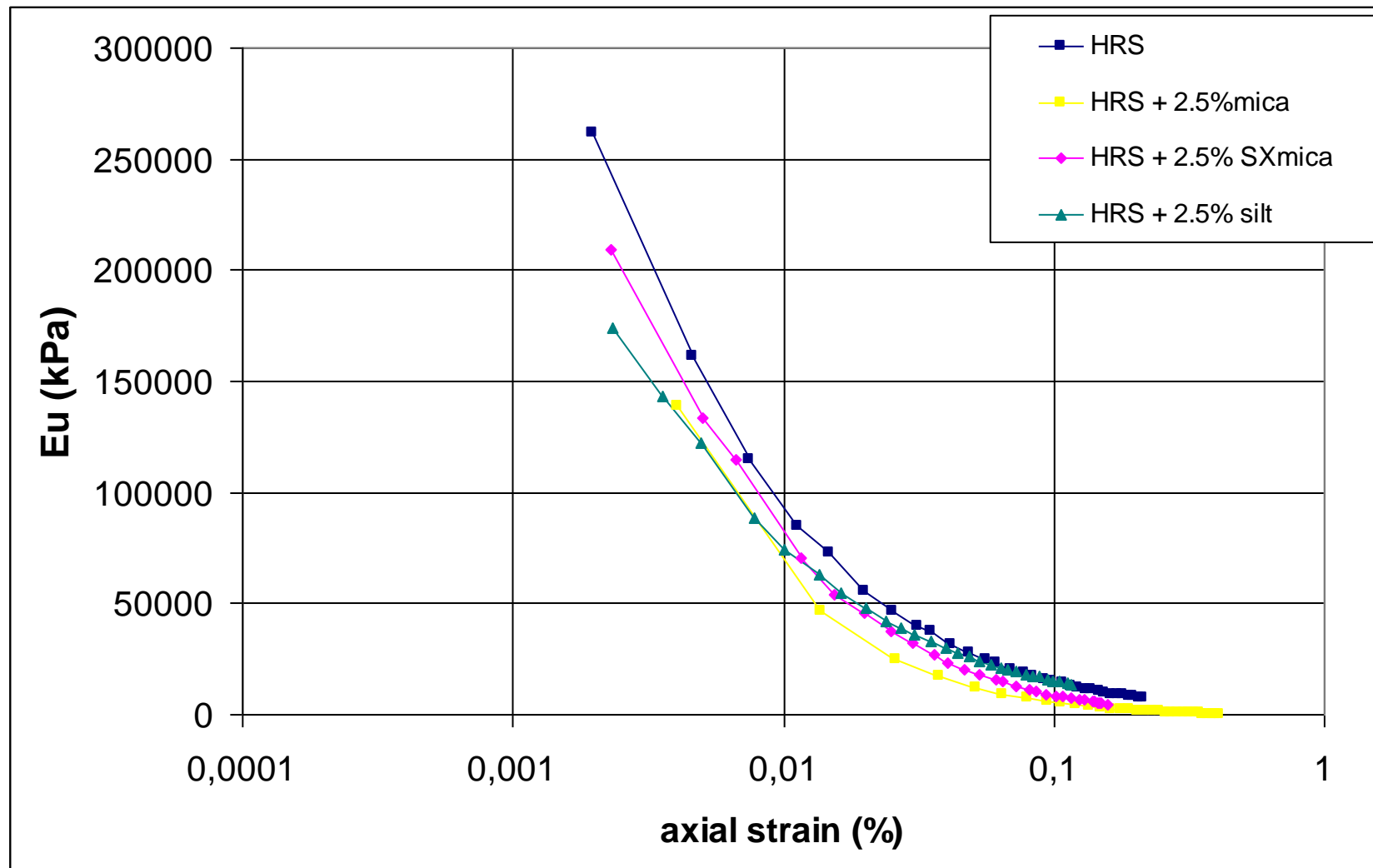


Σχήμα 14: Καμπύλες $G-\gamma$ για μίγματα άμμου (HRS) και μαρμαρυγία σε ποσοστό (0-5)%. Τιμές G_{max} για τα ίδια μίγματα από μετρήσεις με καμπτικά στοιχεία.

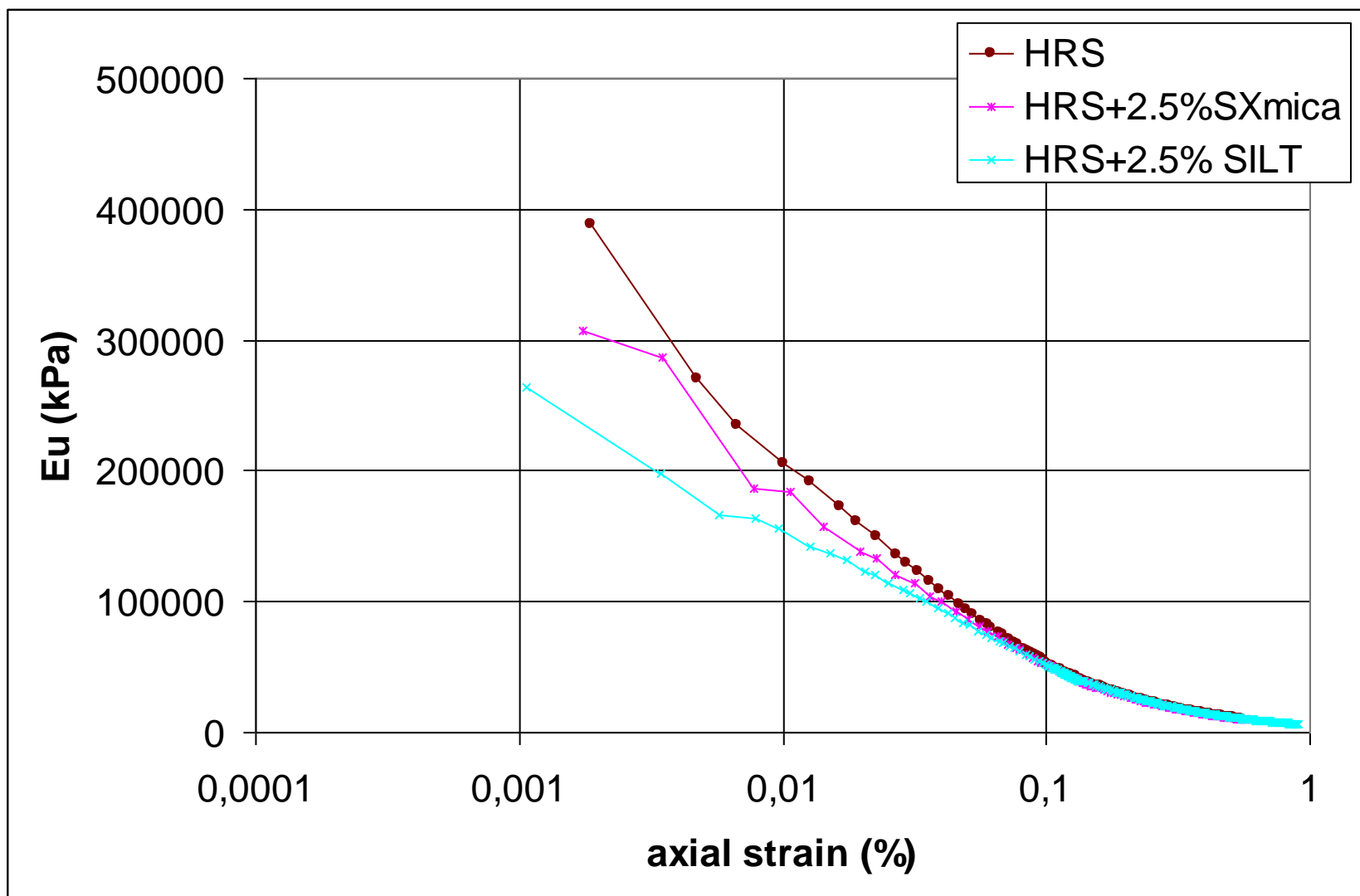


Σχήμα 15: Χαρακτηριστικά αντοχής μιγμάτων της άμμου HRS με διαφορετικά λεπτόκοκκα υλικά: μαρμαρυγία (mica_MF60), μαρμαρυγία (mica_SX) και ιλύ (HPF4):

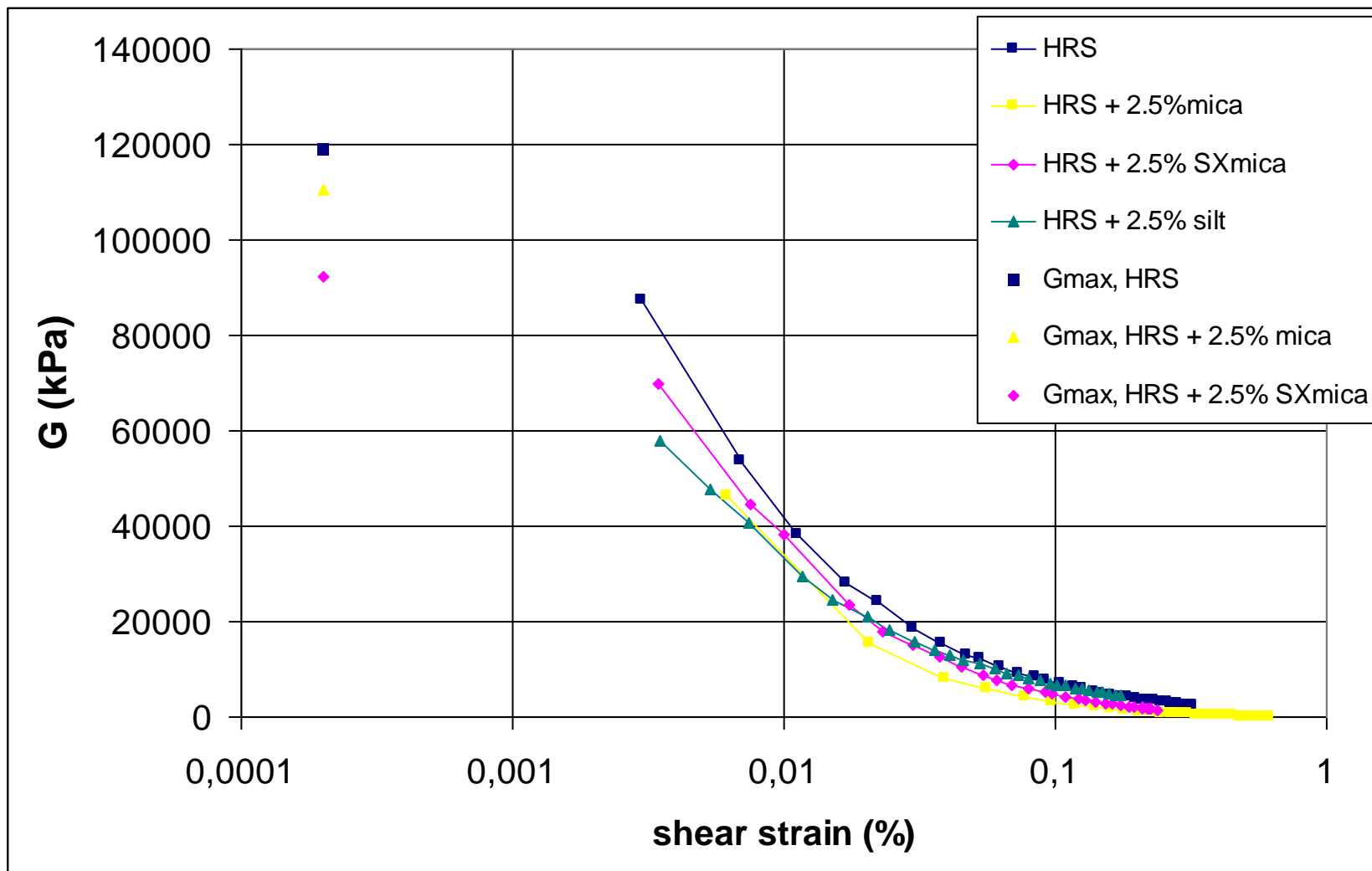
- (1) διαδρομές τάσεων
- (2) σχέσεις τάσεων-παραμορφώσεων
- (3) σχέσεις υπερπίεσης του νερού των πόρων-παραμορφώσεων



Σχήμα 16: Καμπύλες $E_u - \varepsilon_a$, τριαξονική θλίψη υπό συνθήκες εμποδιζόμενης στράγγισης. Επίδραση στη συμπεριφορά της άμμου (HRS) διαφορετικών λεπτόκοκκων υλικών πρόσμιξης: μαρμαρυγίας (mica_MF60), μαρμαρυγίας (mica_SX) και ιλύς (silt_HPF4) για το ίδιο ποσοστό (2.5)% .

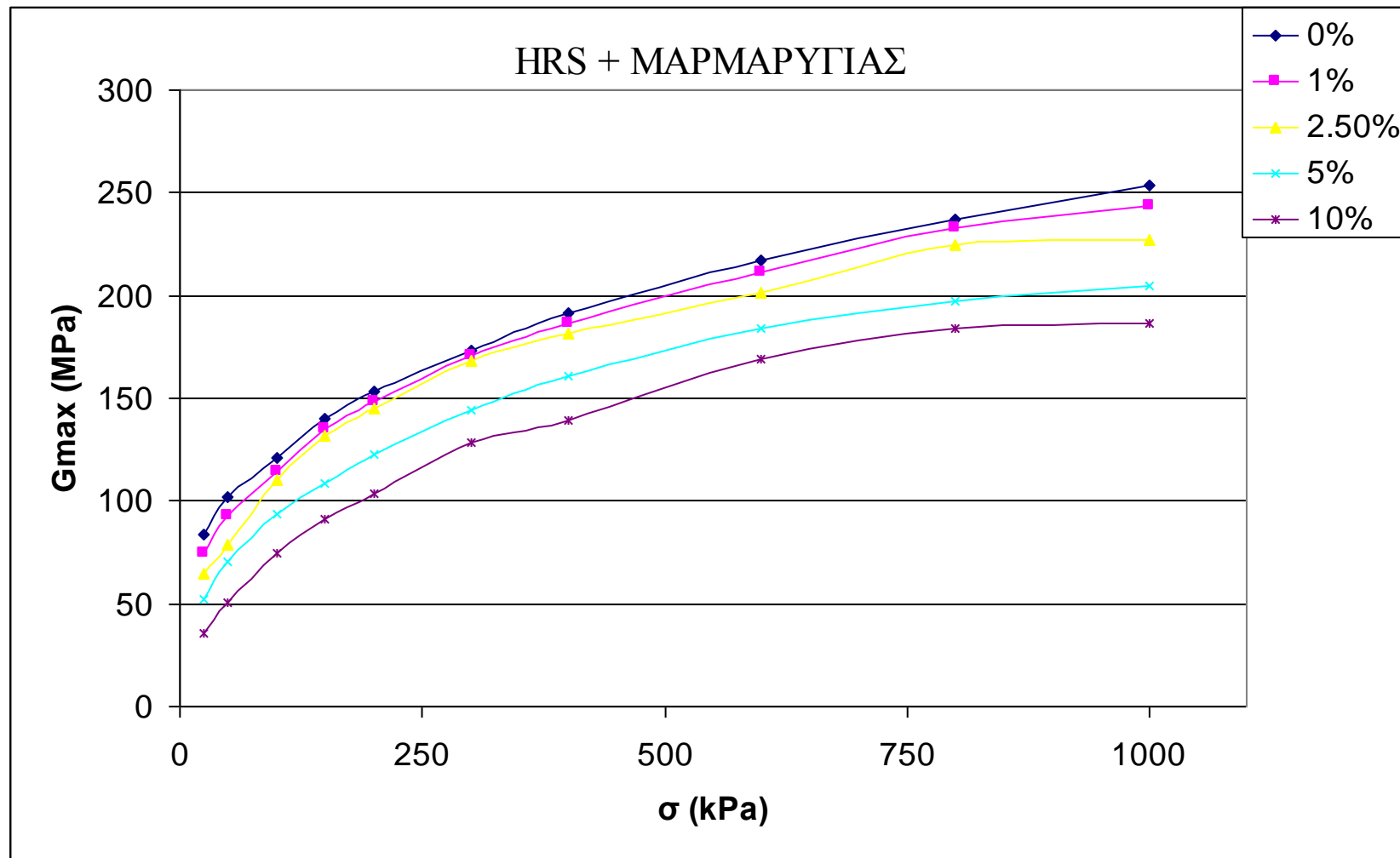


Σχήμα 17: Καμπύλες $E_u - \varepsilon_a$, τριαξονικός εφελκυσμός υπό συνθήκες εμποδιζόμενης στράγγισης. Επίδραση στη συμπεριφορά της άμμου (HRS) διαφορετικών λεπτόκοκκων υλικών πρόσμιξης: μαρμαρυγίας (mica_MF60), μαρμαρυγίας (mica_SX) και ιλύς (silt_HPF4) για το ίδιο ποσοστό (2.5)% .

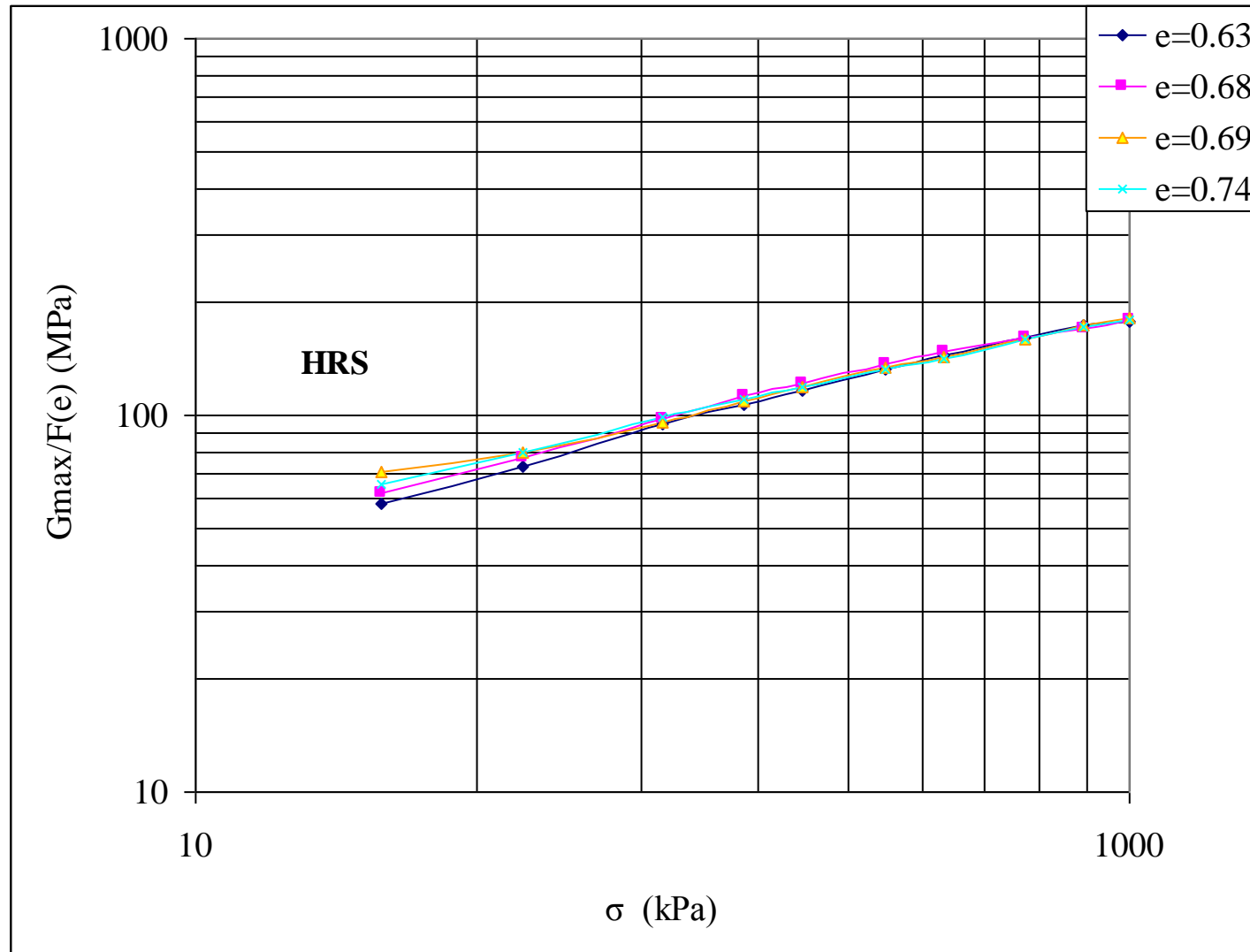


Σχήμα 18: Καμπύλες $G - \gamma$, τριαξονική θλίψη υπό συνθήκες εμποδιζόμενης στράγγισης. Επίδραση στη συμπεριφορά της άμμου (HRS) διαφορετικών λεπτόκοκκων υλικών πρόσμιξης: μαρμαρυγίας (mica_MF60), μαρμαρυγίας (mica_SX) και ιλύς (silt_HPF4) για το ίδιο ποσοστό (2.5)% .

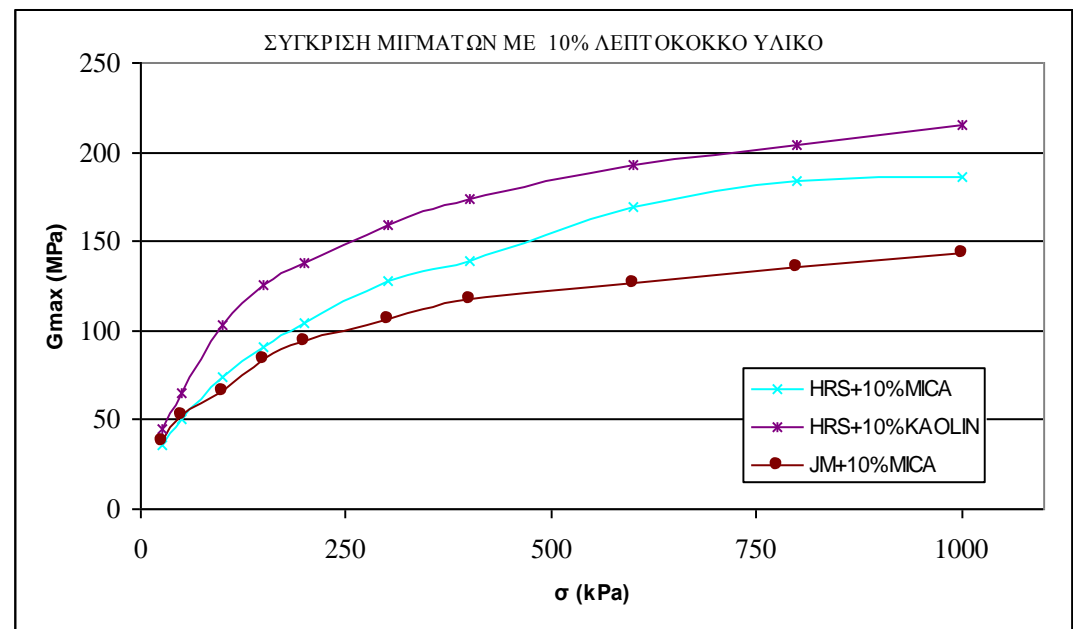
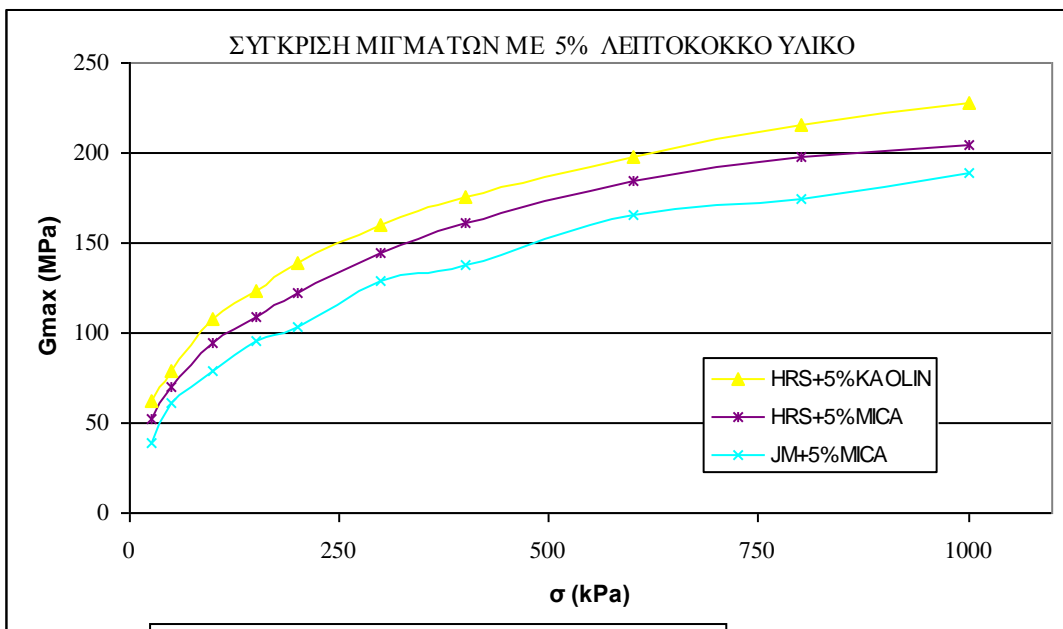
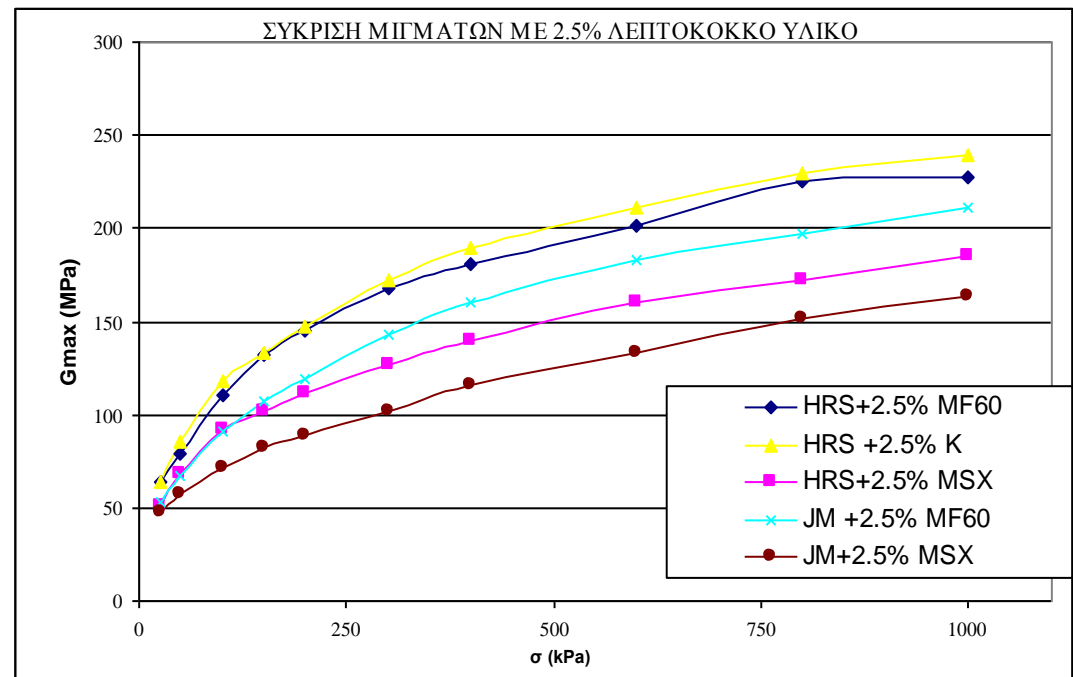
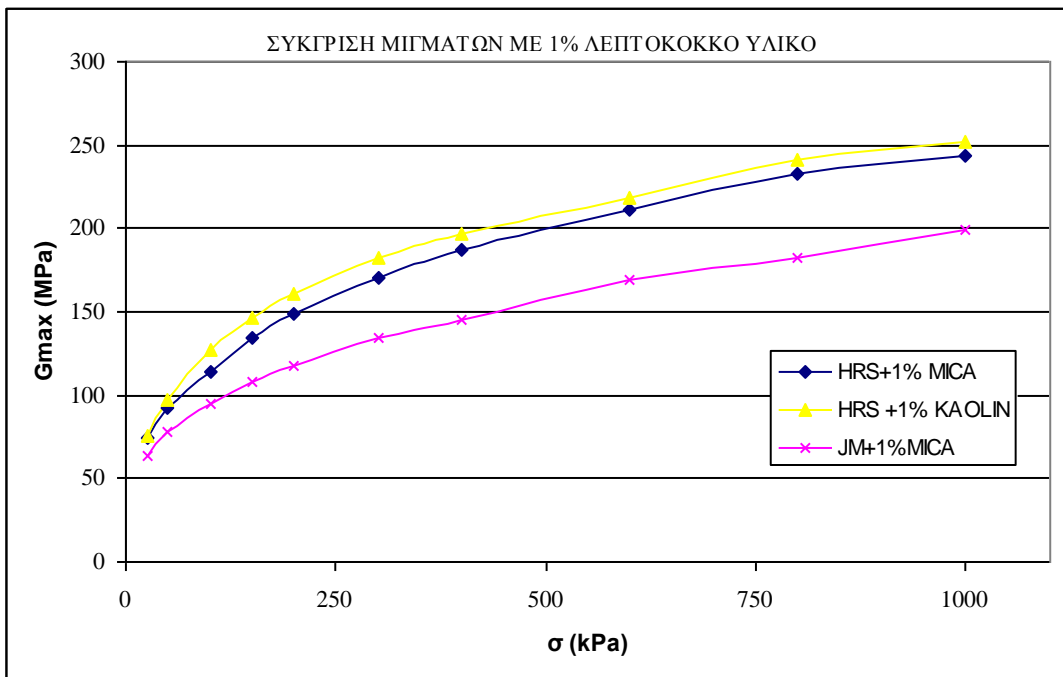
Τιμές G_{max} για τα μίγματα με μαρμαρυγία από μετρήσεις με καμπτικά στοιχεία.



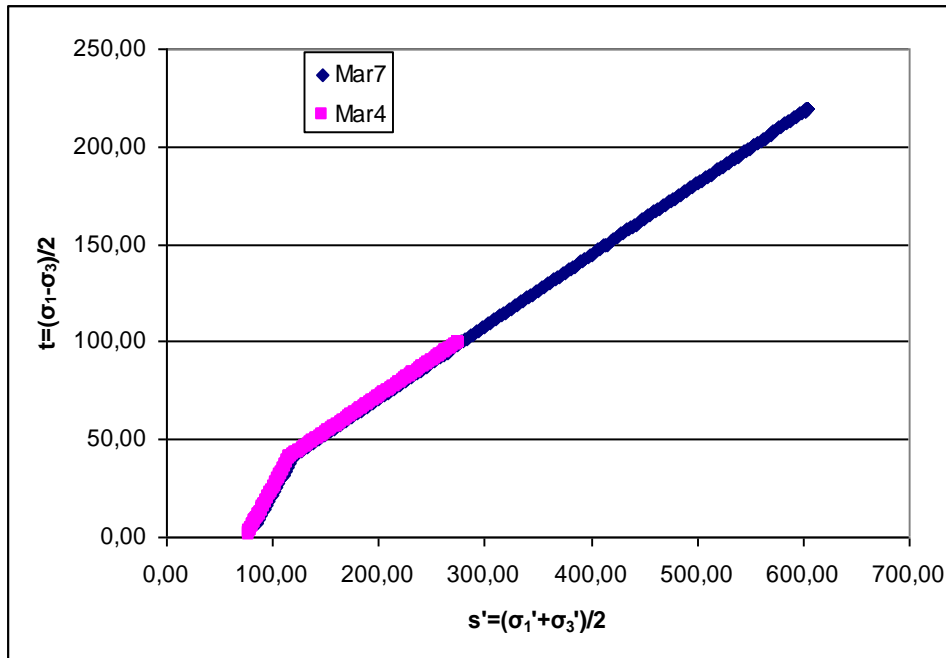
Σχήμα 19: Καμπύλες $G_{max} - \sigma_v'$, φόρτιση στο συμπιεσόμετρο. Επίδραση ποσοστού μαρμαρυγία στη συμπεριφορά άμμου (HRS).



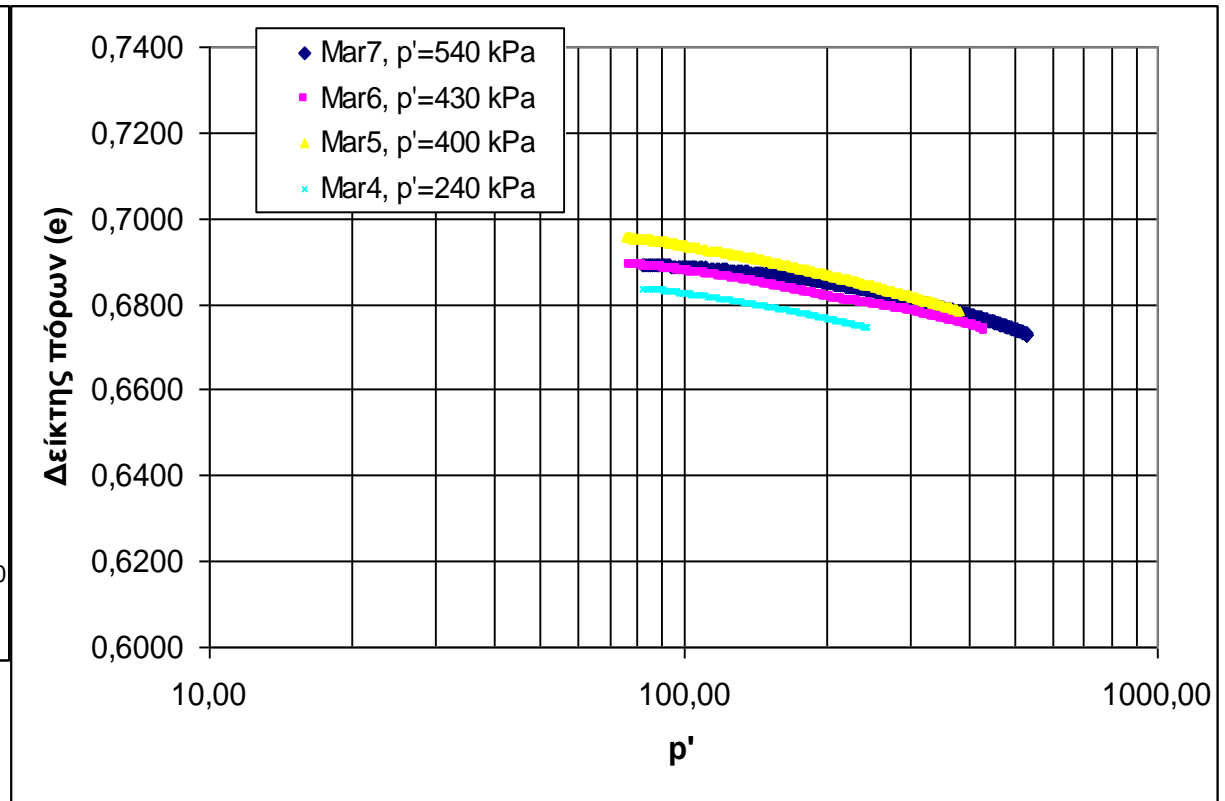
Σχήμα 20: Κανονικοποίηση G_{max} ως προς το δείκτη πόρων για την άμμο HRS.



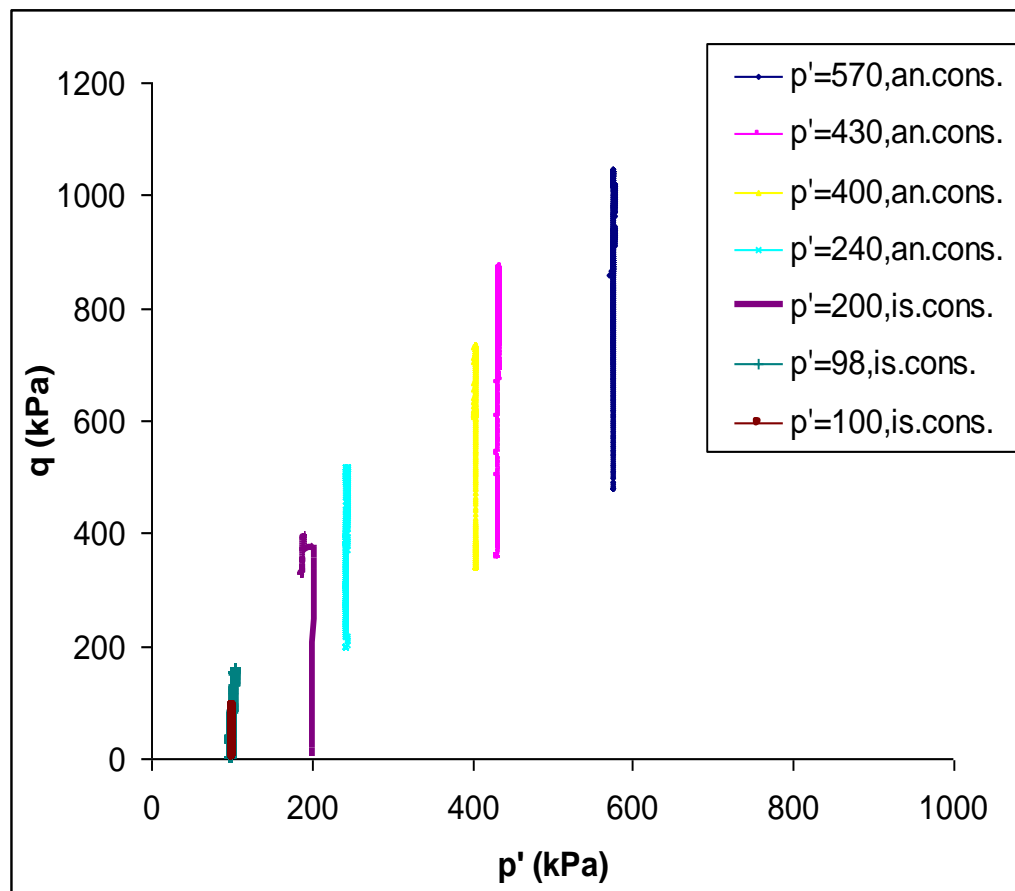
Σχήμα 21: Σύγκριση μιγμάτων



Σχήμα 22: Ανισότροπη στερεοποίηση στην τριαξονική συσκευή. Διαδρομή τάσεων

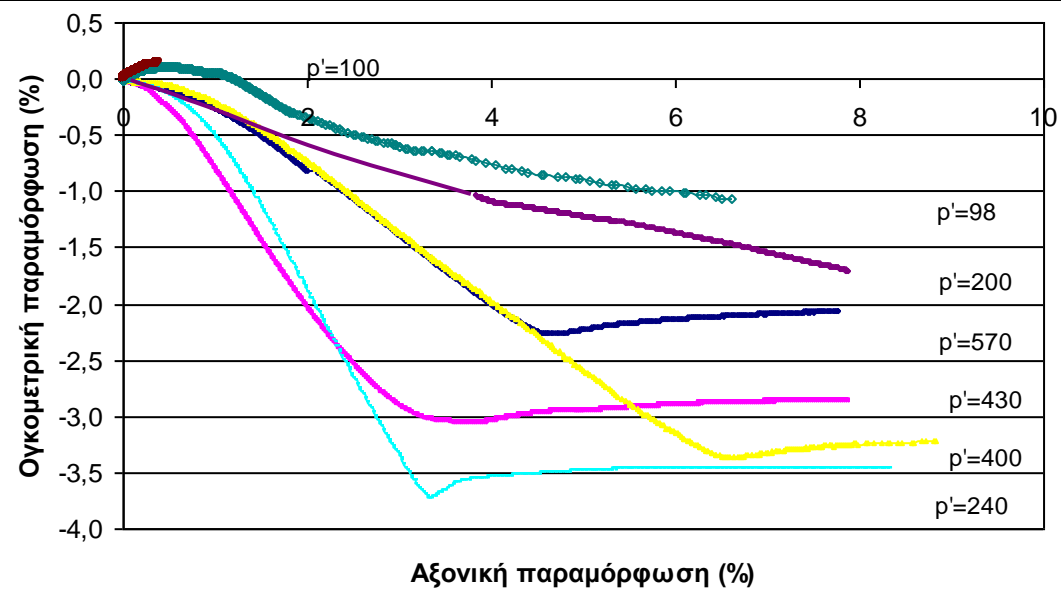
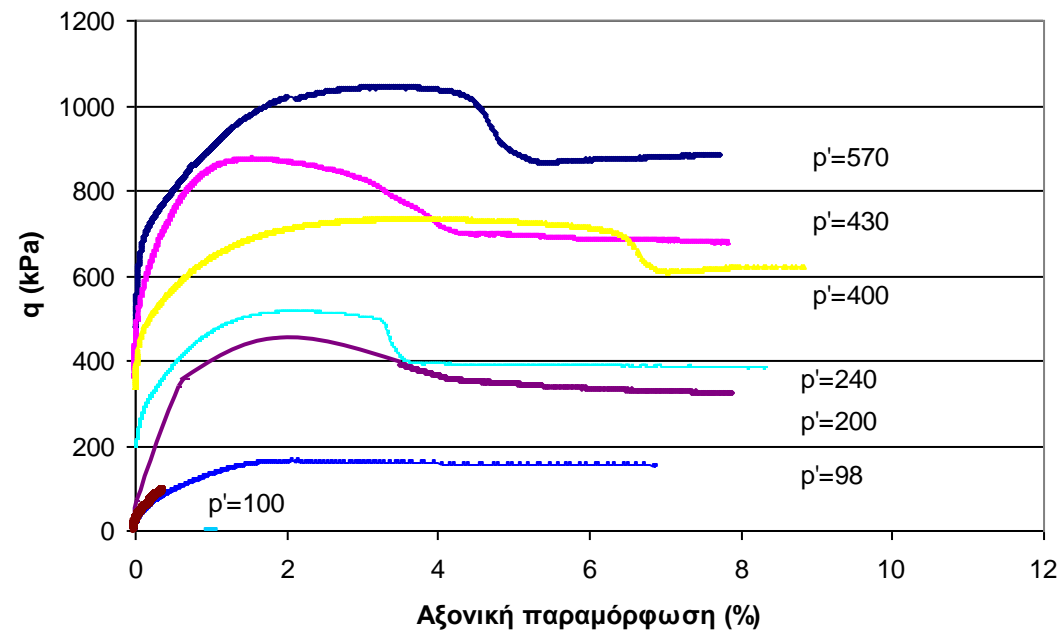


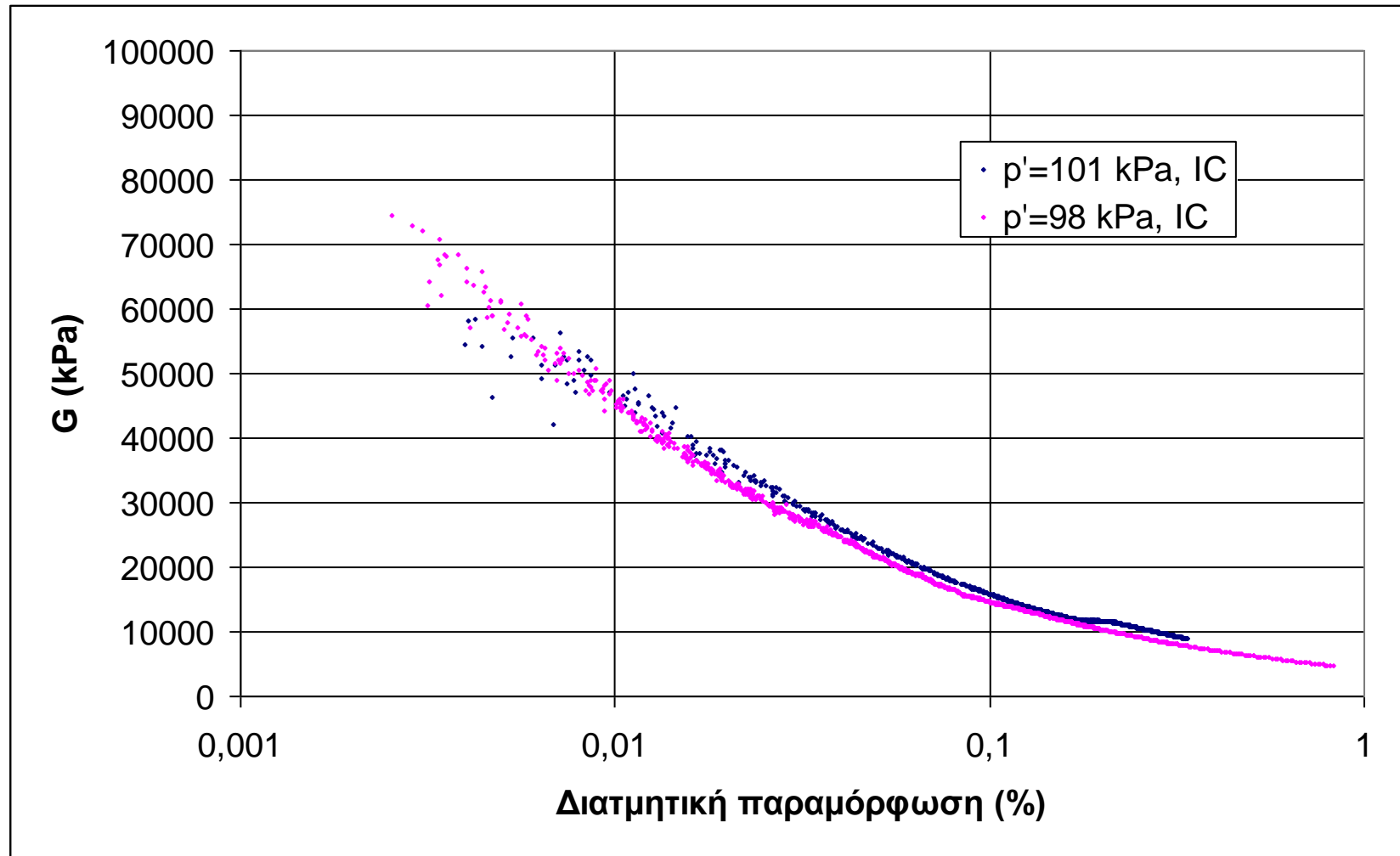
Σχήμα 23: Μεταβολή δείκτη πόρων ως προς τη μέση ενεργό τάση κατά τη διάρκεια της ανισότροπης στερεοποίησης στην τριαξονική συσκευή.



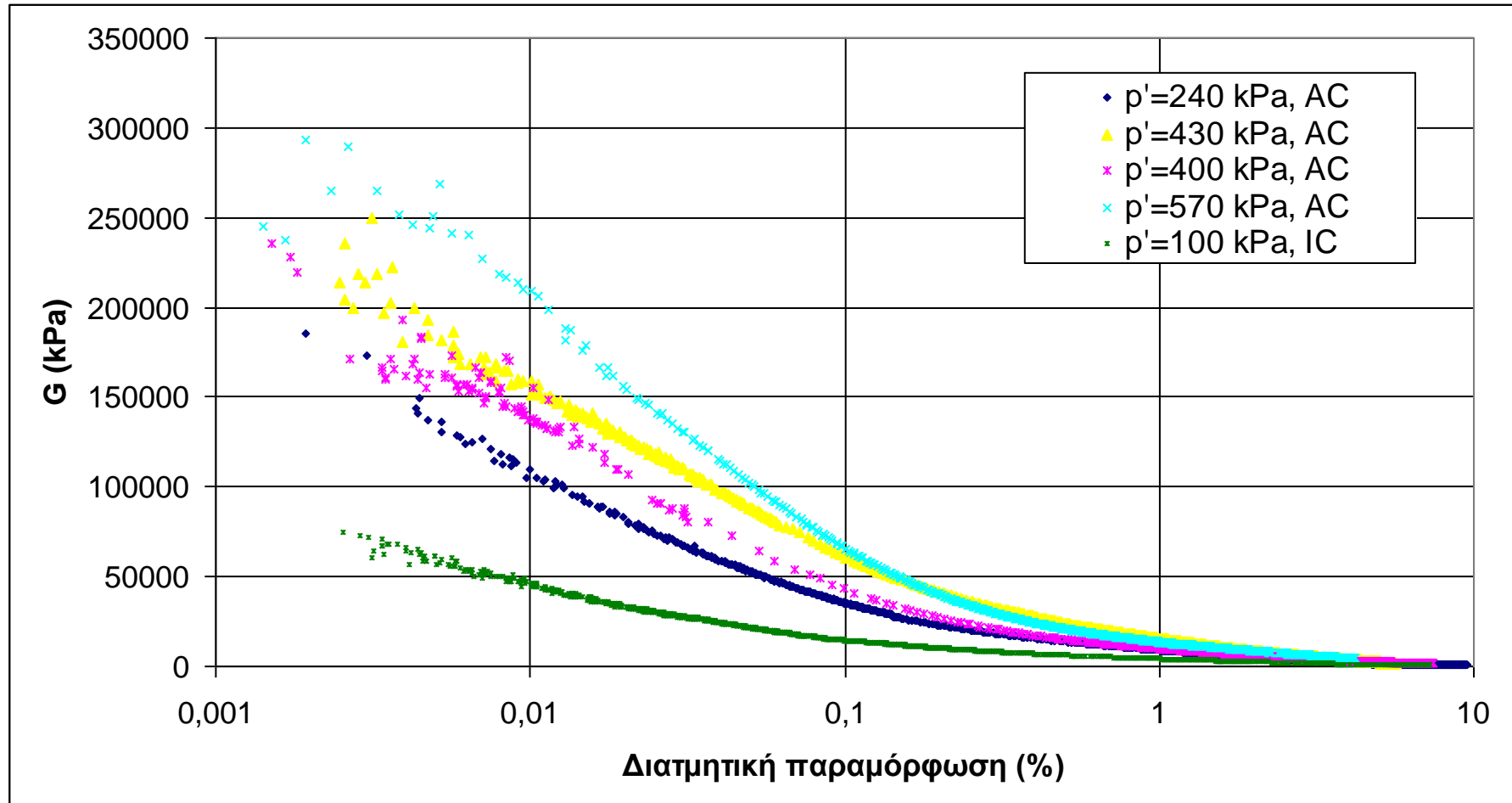
Σχήμα 24: Χαρακτηριστικά αντοχής Μάργας του Ισθμού Κορίνθου

- (1) διαδρομές τάσεων
- (2) σχέσεις τάσεων-παραμορφώσεων
- (3) σχέσεις ογκομετρικών-αξονικών παραμορφώσεων

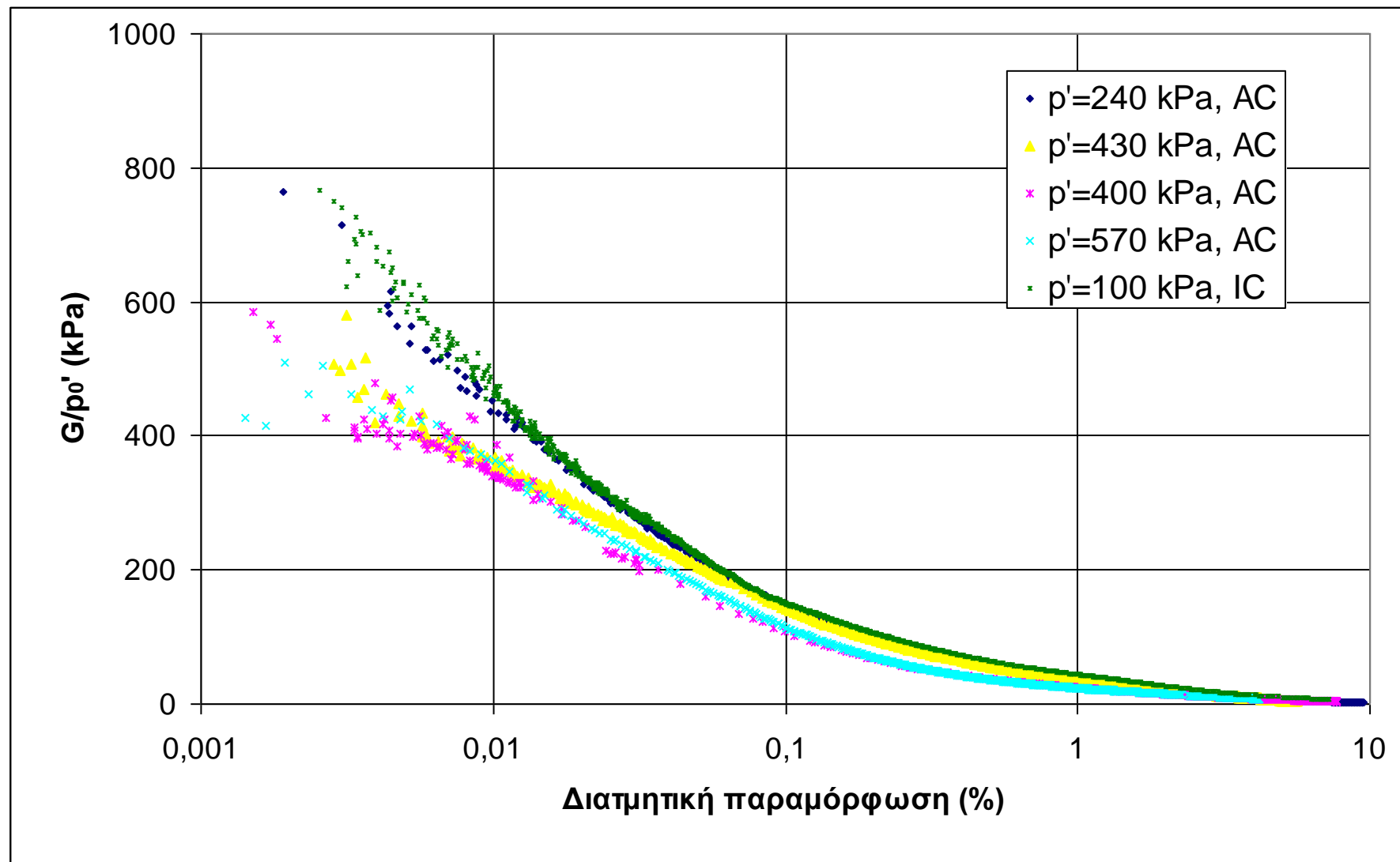




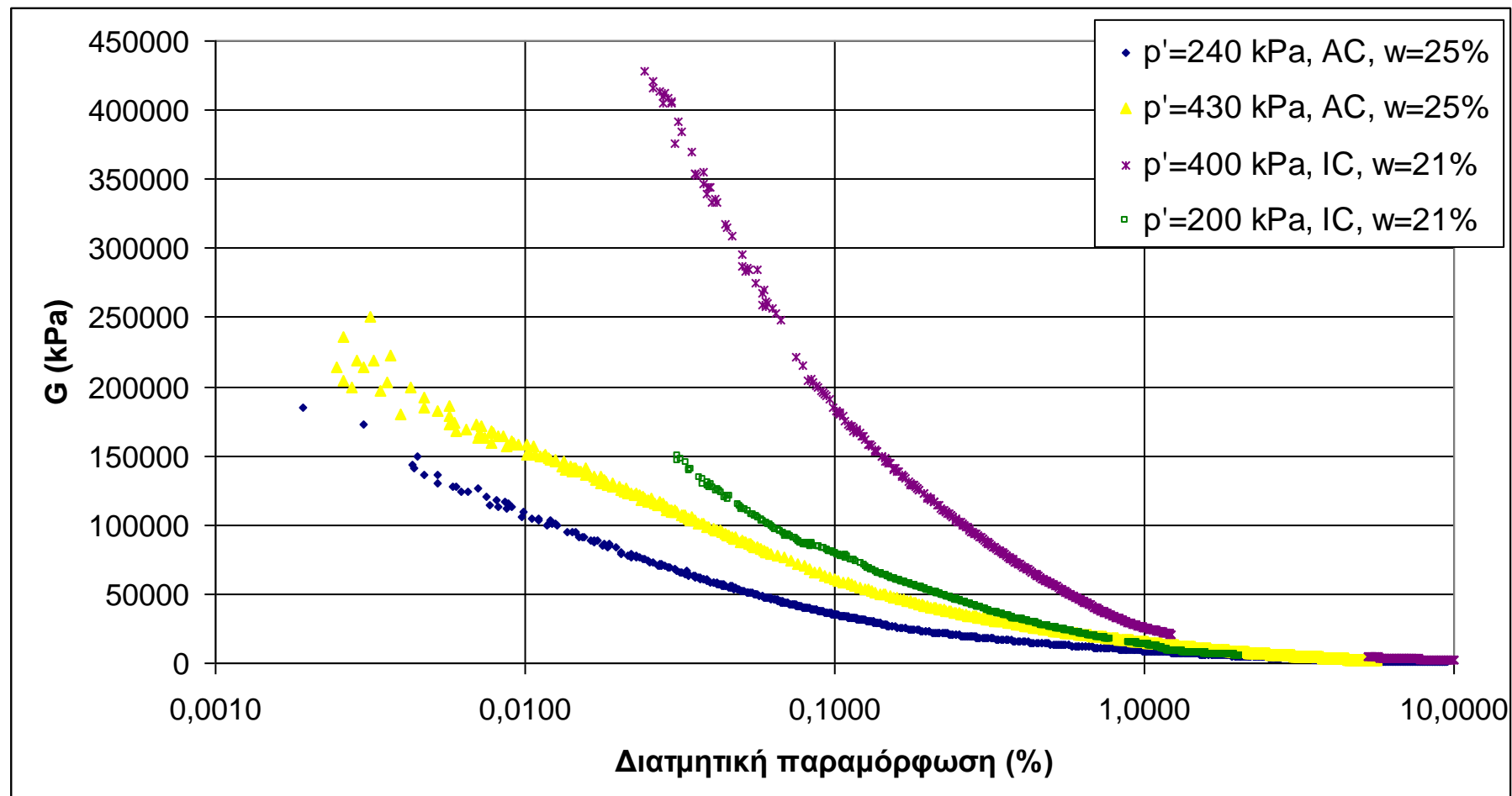
Σχήμα 25: Καμπύλες $G - \gamma$, δοκιμές ελεύθερης στράγγισης υπό συνθήκες σταθερής μέσης ενεργού τάσης p' , για ισότροπα στερεοποιημένα δοκίμια.



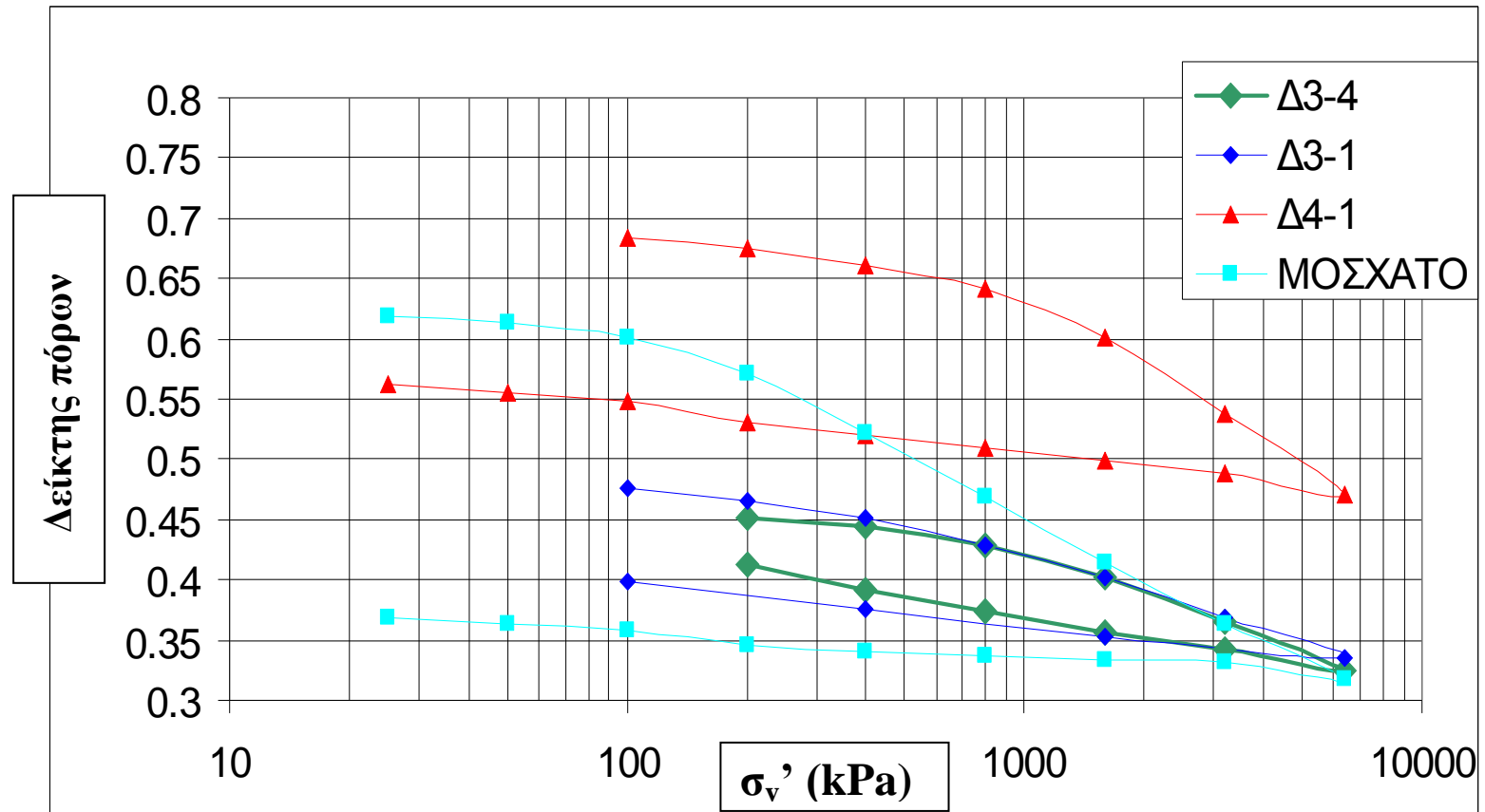
Σχήμα 26: Καμπύλες $G - \gamma$, δοκιμές ελεύθερης στράγγισης υπό συνθήκες σταθερής μέσης ενεργού τάσης p' , για ανισότροπα στερεοποιημένα (AC) και ισότροπα στερεοποιημένα (IC) δοκίμια.



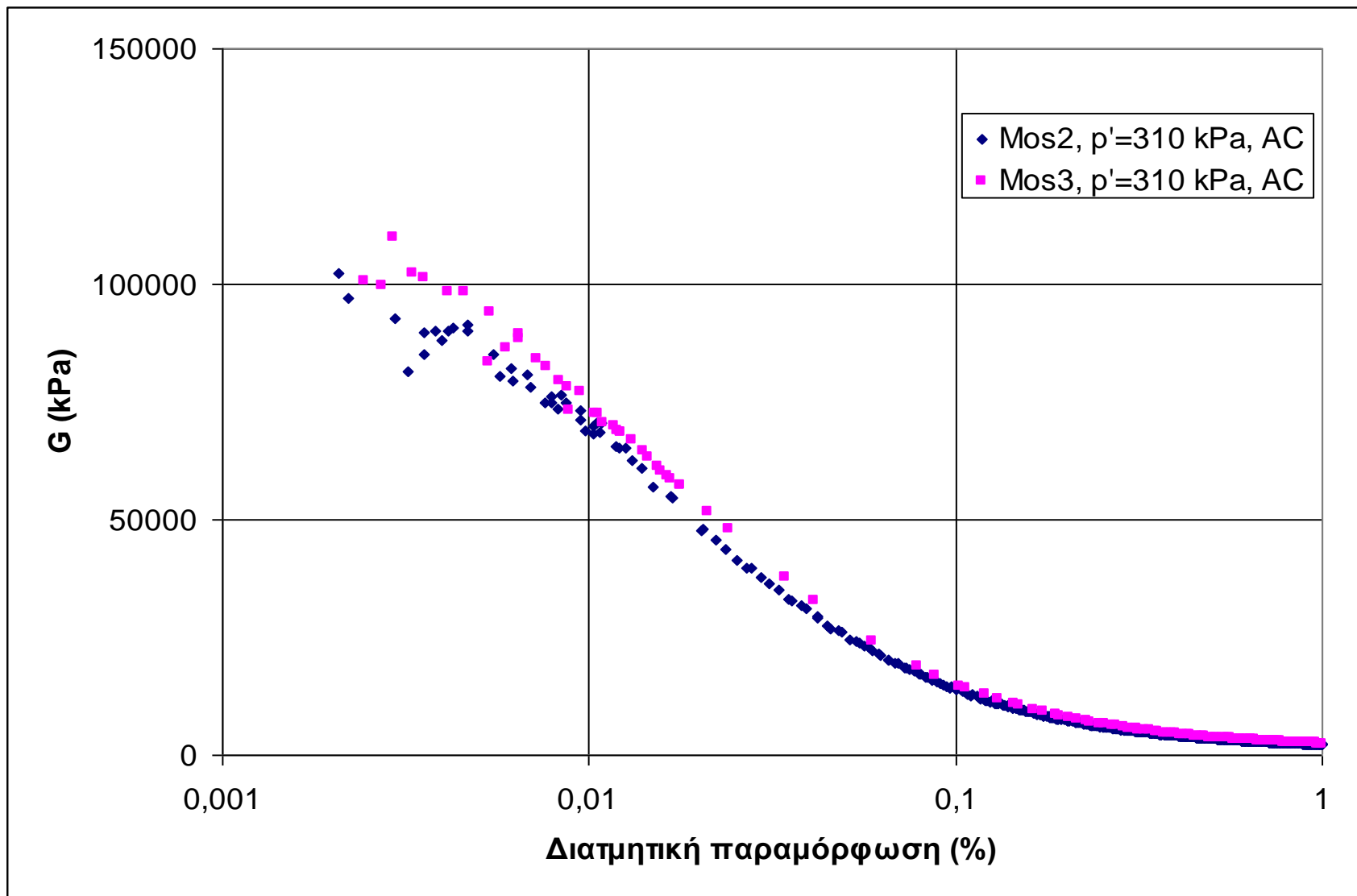
Σχήμα 27: Κανονικοποιημένες καμπύλες $G/p' - \gamma$, δοκιμές ελεύθερης στράγγισης υπό συνθήκες σταθερής μέσης ενεργού τάσης p' , για ανισότροπα στερεοποιημένα (AC) και ισότροπα στερεοποιημένα (IC) δοκίμια.



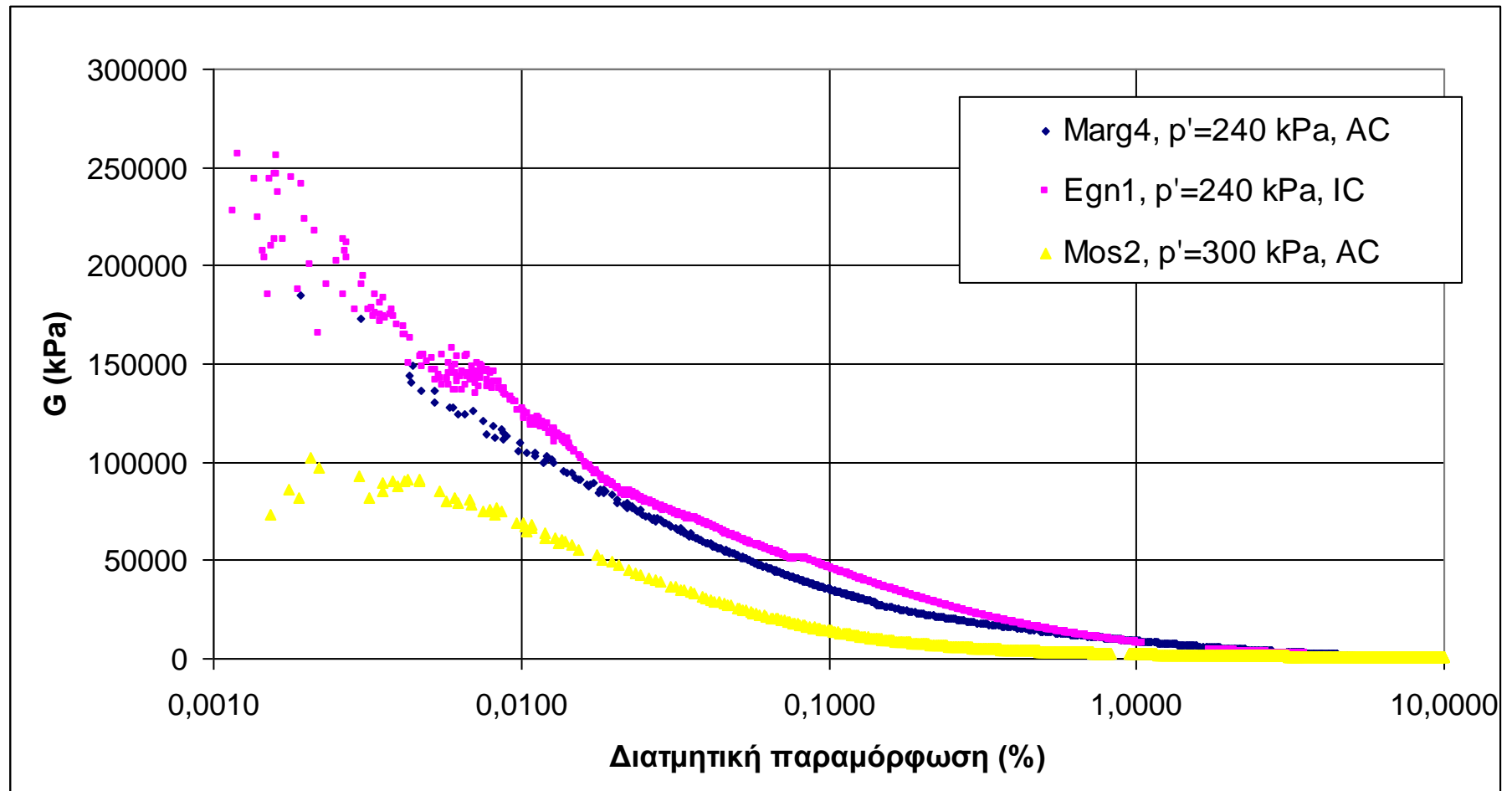
Σχήμα 28: Καμπύλες $G - \gamma$, δοκιμές ελεύθερης στράγγισης υπό συνθήκες σταθερής μέσης ενεργού τάσης p' , για ανισότροπα στερεοποιημένα (AC) και ισότροπα στερεοποιημένα (IC) δοκίμια με διαφορετικό φυσικό ποσοστό υγρασίας.



Σχήμα 29: Καμπύλες συμπίεστρος για δείγματα αργίλων Εγνατίας ($\Delta 3-4$, $\Delta 3-1$, $\Delta 4-1$) και αργιλοίλους Μοσχάτου



Σχήμα 30: Καμπύλες $G - \gamma$, δοκιμές ελεύθερης στράγγισης υπό συνθήκες σταθερής μέσης ενεργού τάσης p' , για ανισότροπα στερεοποιημένα (AC) δοκίμια.



Σχήμα 31: Σύγκριση καμπυλών $G - \gamma$, για ανάλογες τιμές μέσης ενεργού τάσης p' , για τρία διαφορετικά φυσικά υλικά: Μάργα Ισθμού Κορίνθου, άργιλο Εγνατίας και αργιλοϊλύ Μοσχάτου.

